

---

# Défis à l'échelle des galaxies et alternatives à la matière noire froide

---

**Jonathan Freundlich**

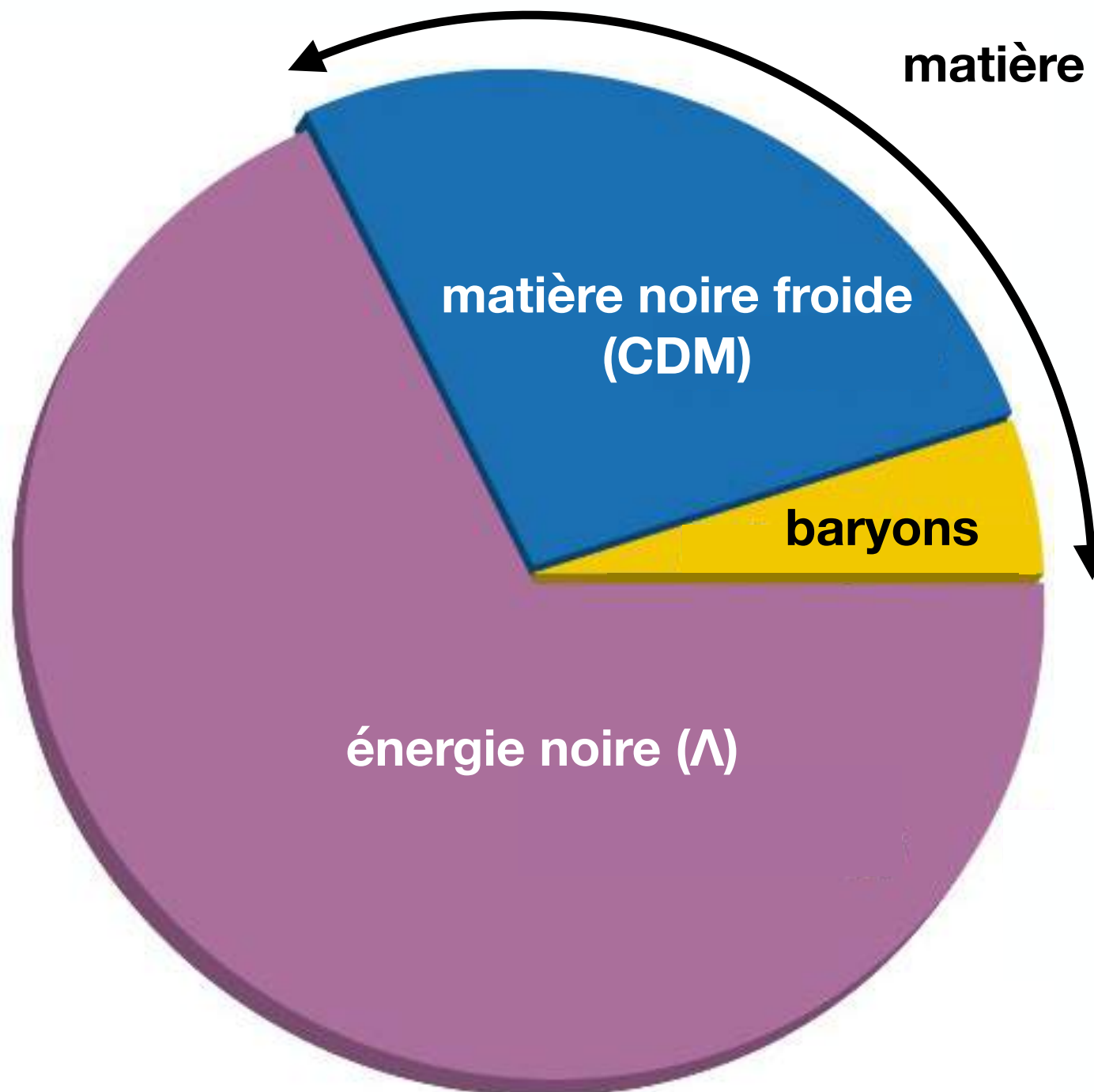
---

## Le modèle $\Lambda$ CDM et ses succès

---

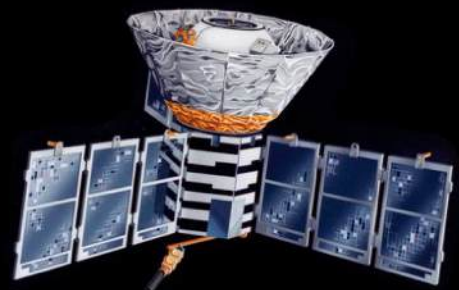
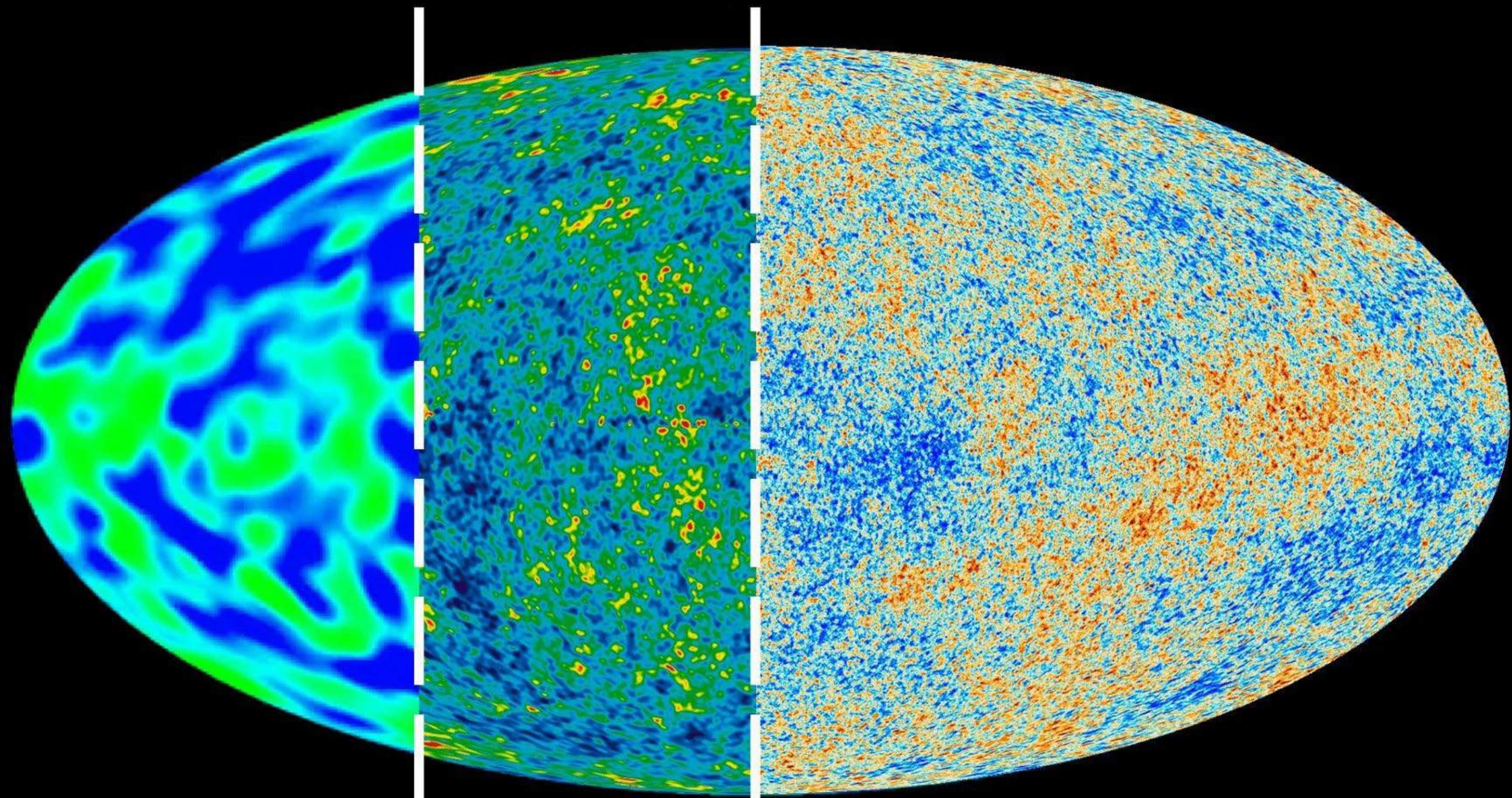
$\Lambda$ : constante cosmologique, associée à l'accélération de l'expansion de l'Univers  
CDM (*cold dark matter*): matière noire froide

# La composition de l'Univers dans le modèle $\Lambda$ CDM

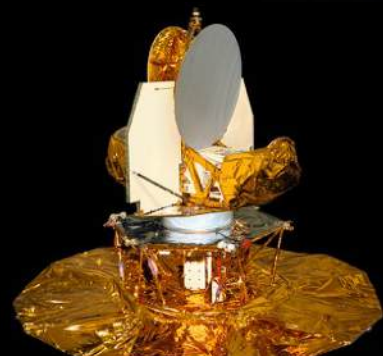


$\Lambda$ : constante cosmologique, associée à l'accélération de l'expansion de l'Univers  
CDM (*cold dark matter*): matière noire froide

# Le fond diffus cosmologique fixe la composition de l'Univers



COBE (1989-1993)

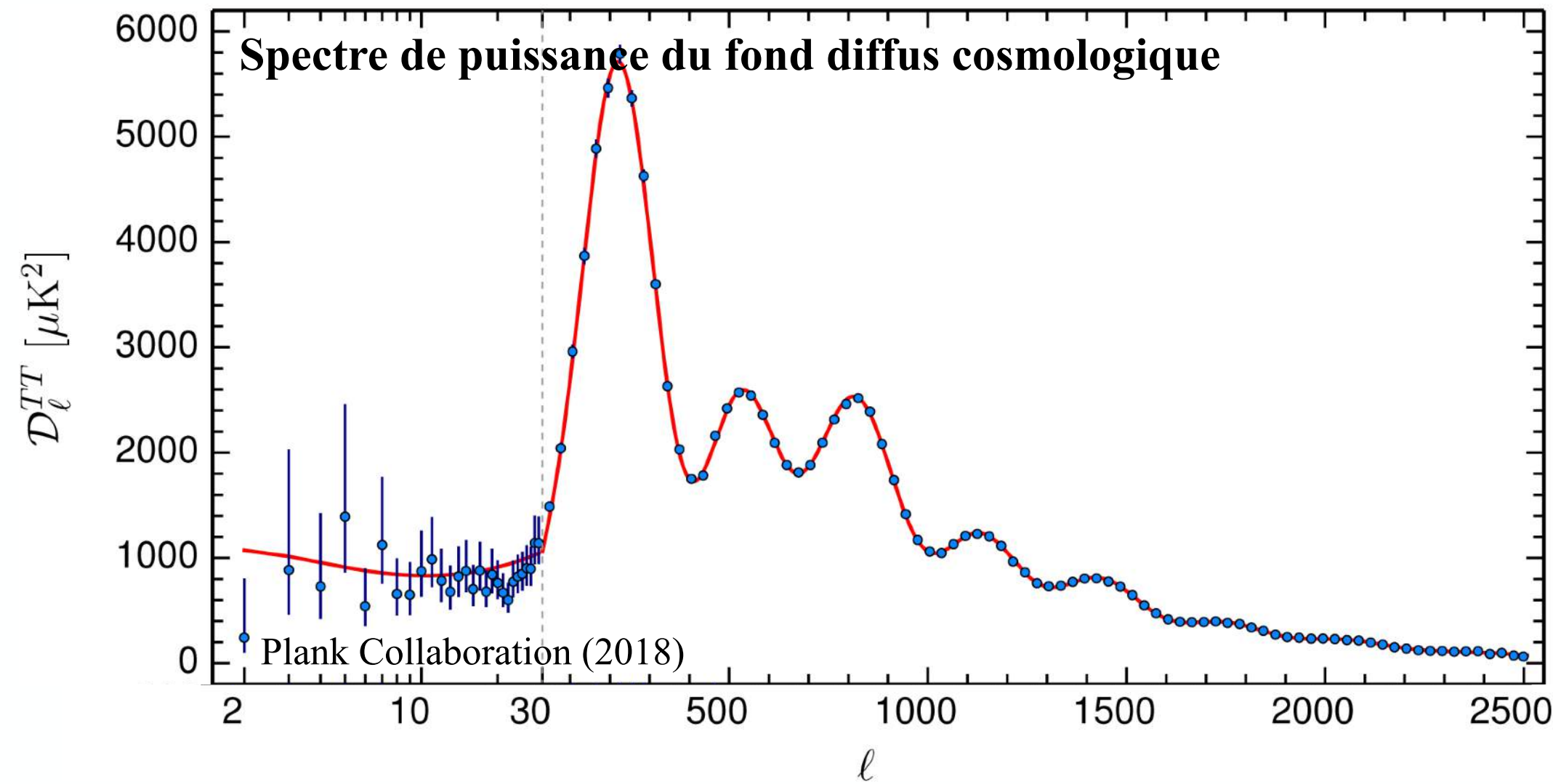


WMAP (2003-2012)

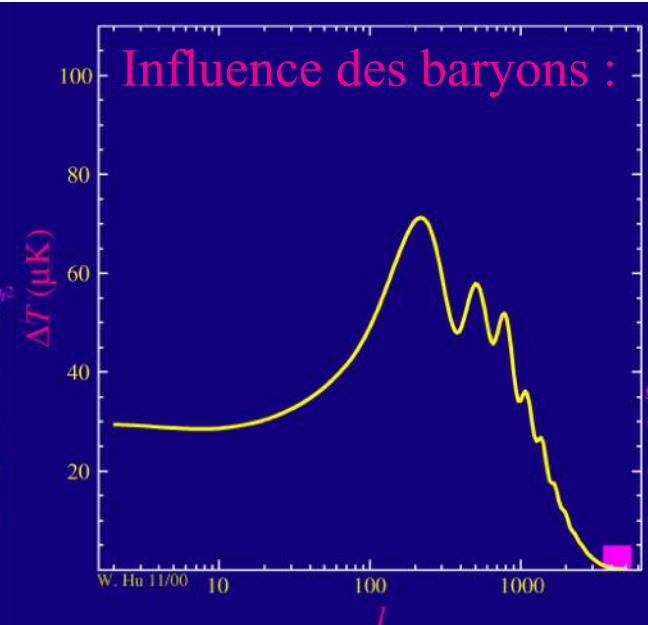
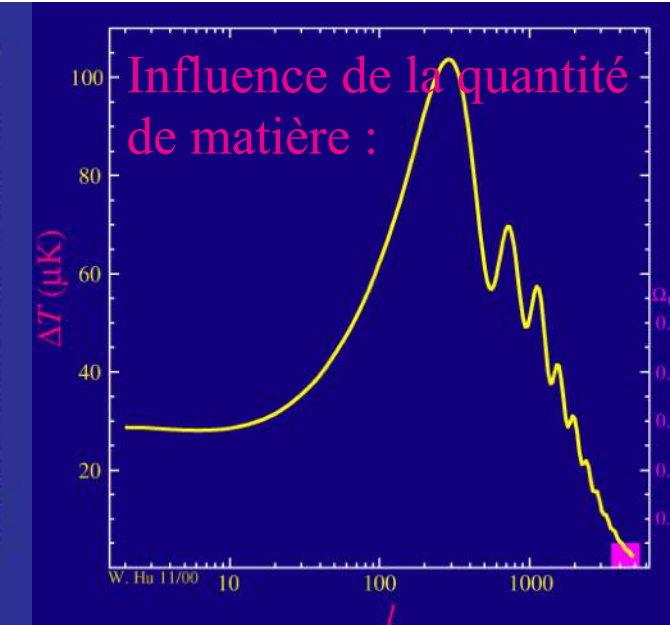
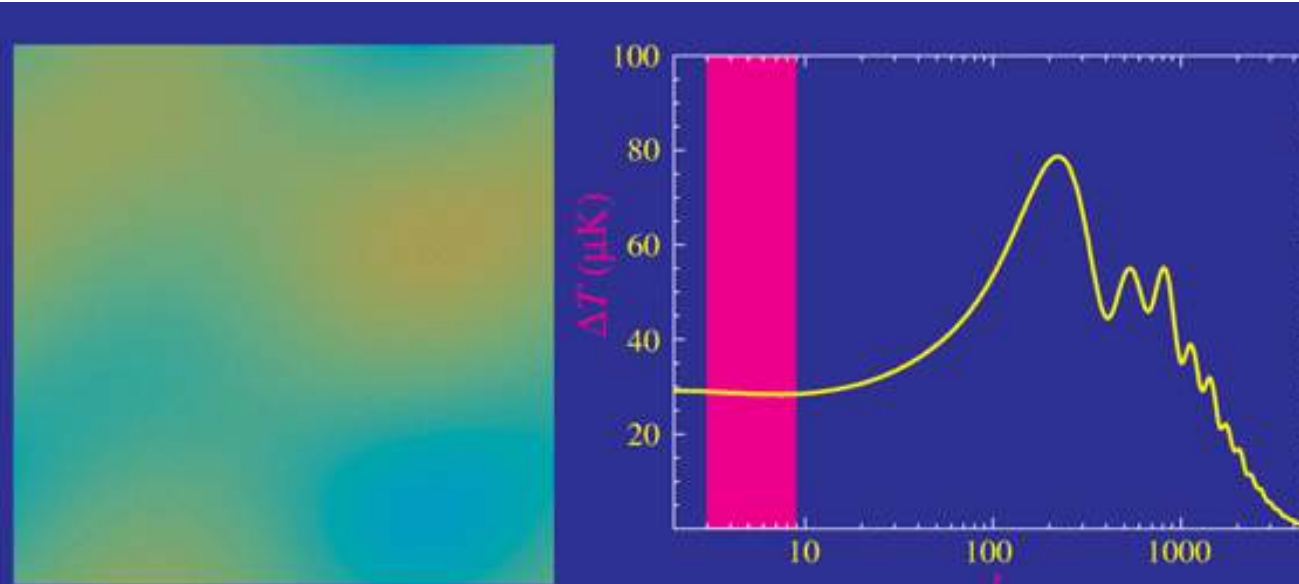


Planck (2009-2013)

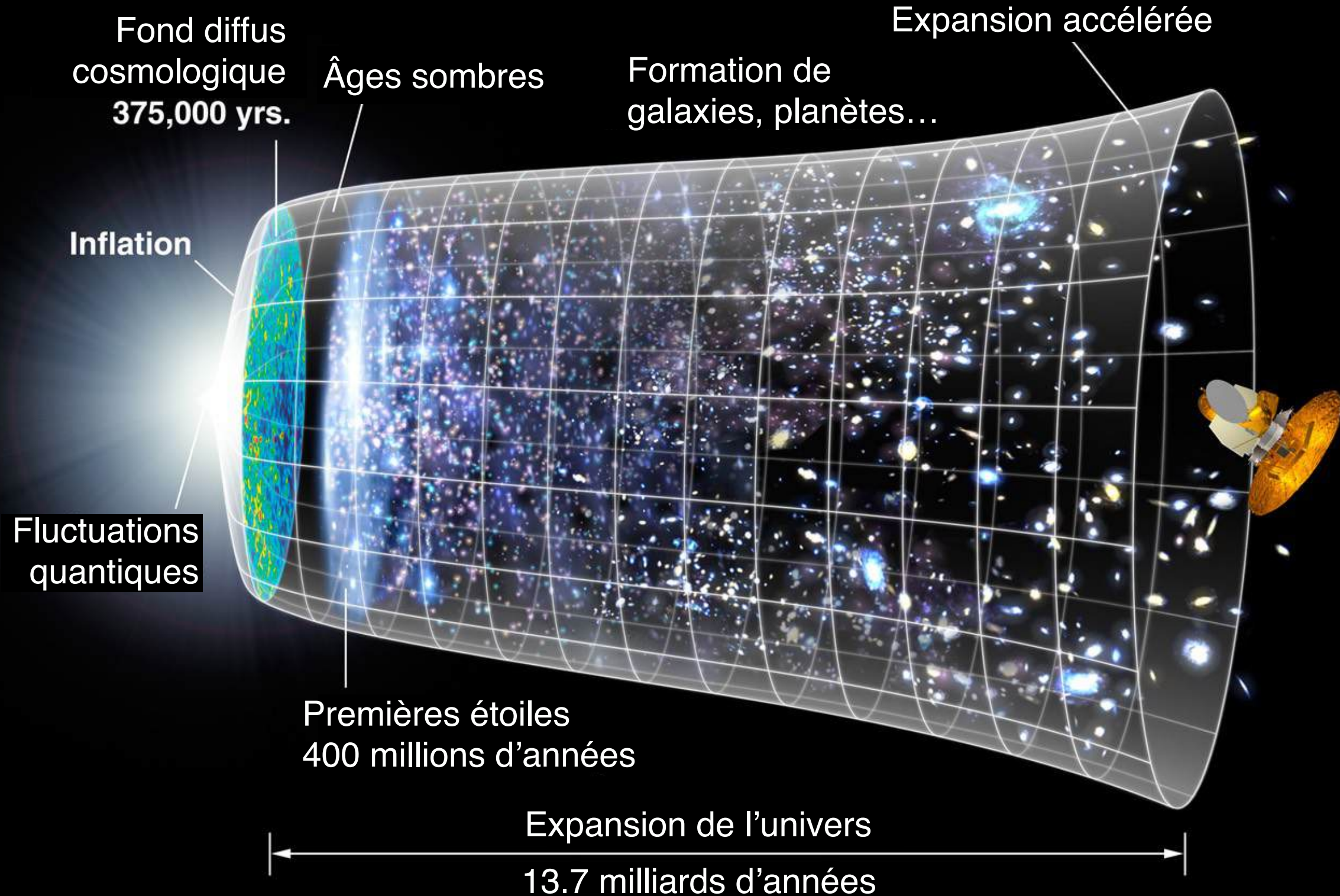
# Le fond diffus cosmologique fixe la composition de l'Univers



Amplitude des fluctuations à différentes échelles :

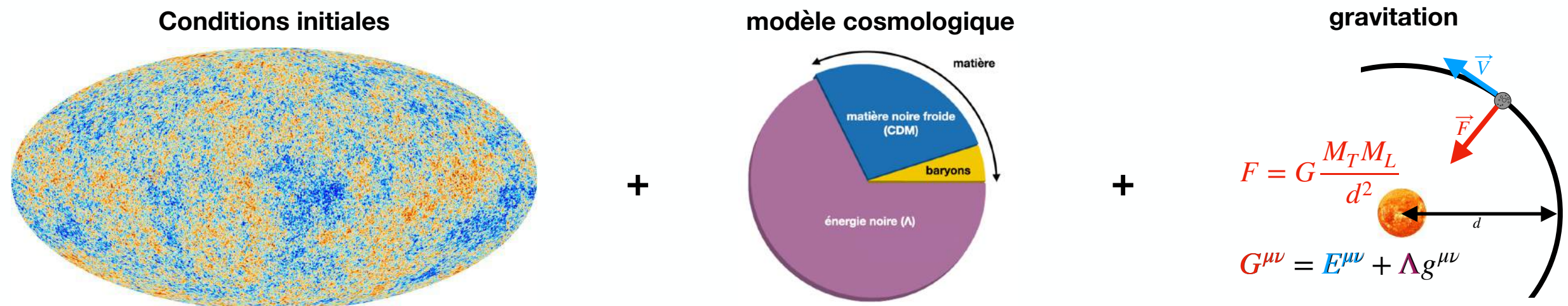


# Un Univers en expansion

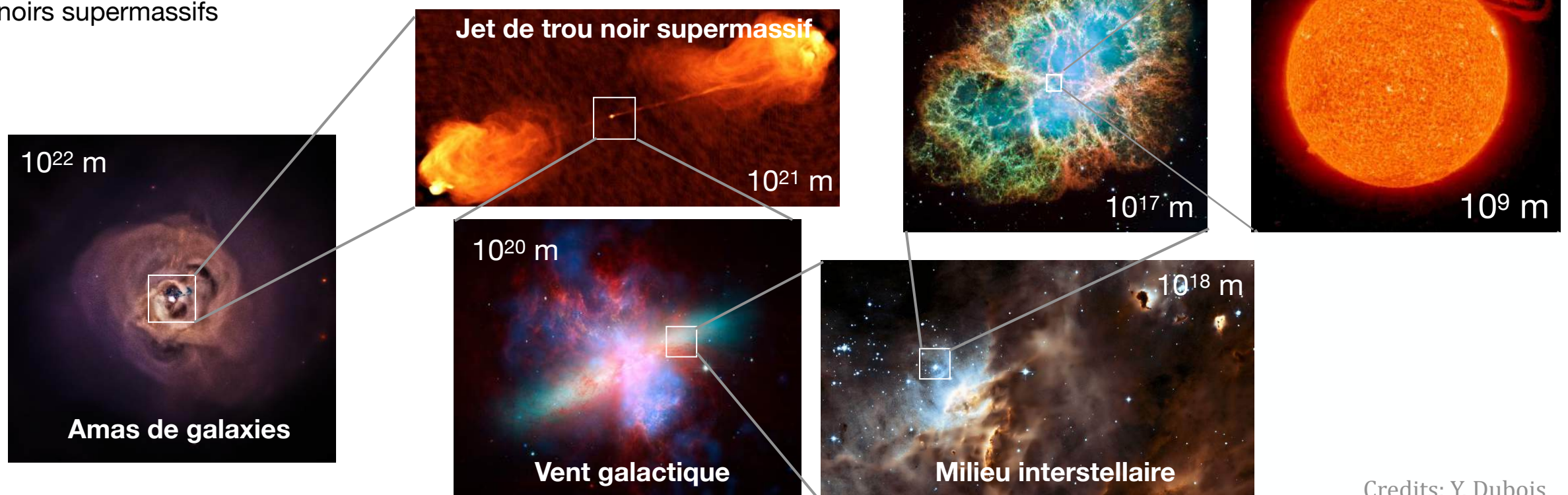


# Simuler la formation des structures dans l'Univers

- Un problème multi-échelles : des sites de formation d'étoiles ( $10^{16}$  m) aux grandes structures ( $20^{22}$  m)
- Différents types de phénomènes physiques : gravité, dynamique des gaz, couplage entre le gaz et le rayonnement, dynamique des poussières, réactions chimiques, champs magnétiques, rayons cosmiques, formation et évolution des étoiles, etc.
- Ingrédients :



+ **phénomènes baryoniques** : la matière visible et en particulier le gaz et les phénomènes de **feedback**, i.e. vents stellaires, champs de radiation, explosions de supernovae, noyaux actifs autour des trous noirs supermassifs



Credits: Y. Dubois



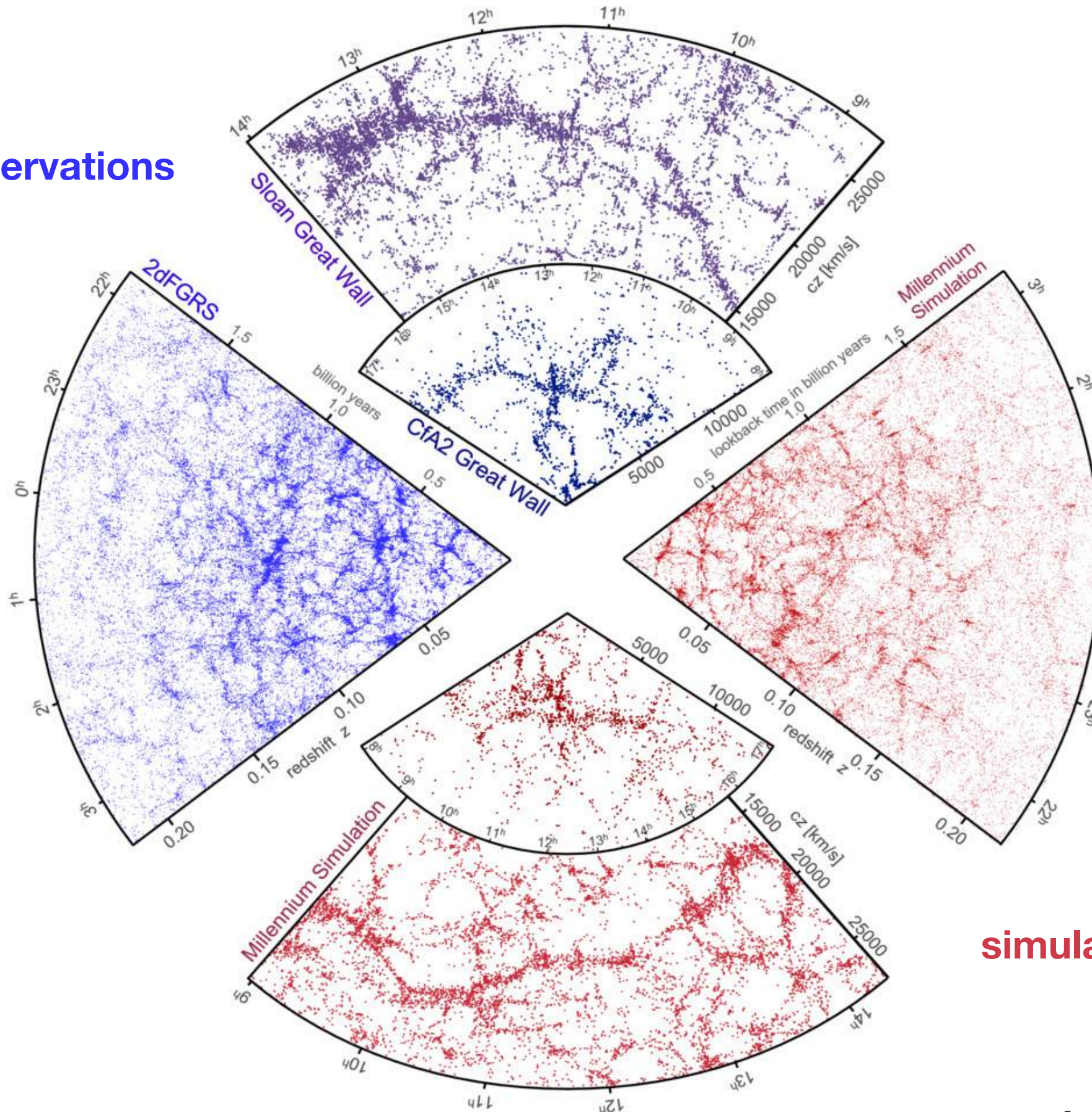
## Illustris simulation

Time since the Big Bang: 3.6 billion years

lien video : [https://www.illustris-project.org/movies/illustris\\_movie\\_rot\\_sub\\_frame.mp4](https://www.illustris-project.org/movies/illustris_movie_rot_sub_frame.mp4)

# La toile cosmique : simulations et observations

observations



# Galaxies : simulations et observations



Hubble Space Telescope

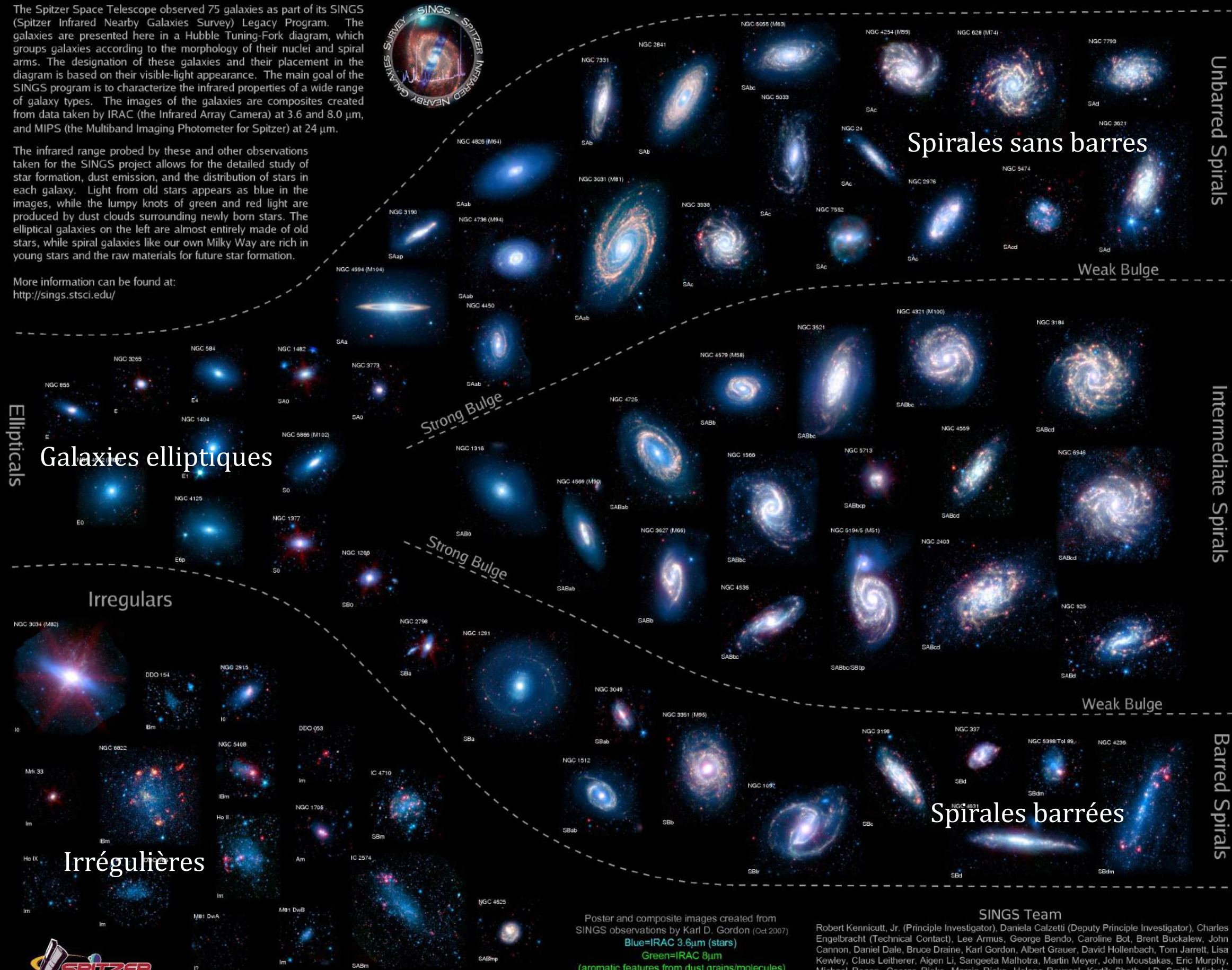
Illustris simulation

## Galaxies : observations

The Spitzer Space Telescope observed 75 galaxies as part of its SINGS (Spitzer Infrared Nearby Galaxies Survey) Legacy Program. The galaxies are presented here in a Hubble Tuning-Fork diagram, which groups galaxies according to the morphology of their nuclei and spiral arms. The designation of these galaxies and their placement in the diagram is based on their visible-light appearance. The main goal of the SINGS program is to characterize the infrared properties of a wide range of galaxy types. The images of the galaxies are composites created from data taken by IRAC (the Infrared Array Camera) at 3.6 and 8.0  $\mu\text{m}$ , and MIPS (the Multiband Imaging Photometer for Spitzer) at 24  $\mu\text{m}$ .

The infrared range probed by these and other observations taken for the SINGS project allows for the detailed study of star formation, dust emission, and the distribution of stars in each galaxy. Light from old stars appears as blue in the images, while the lumpy knots of green and red light are produced by dust clouds surrounding newly born stars. The elliptical galaxies on the left are almost entirely made of old stars, while spiral galaxies like our own Milky Way are rich in young stars and the raw materials for future star formation.

More information can be found at:  
<http://sings.stsci.edu/>

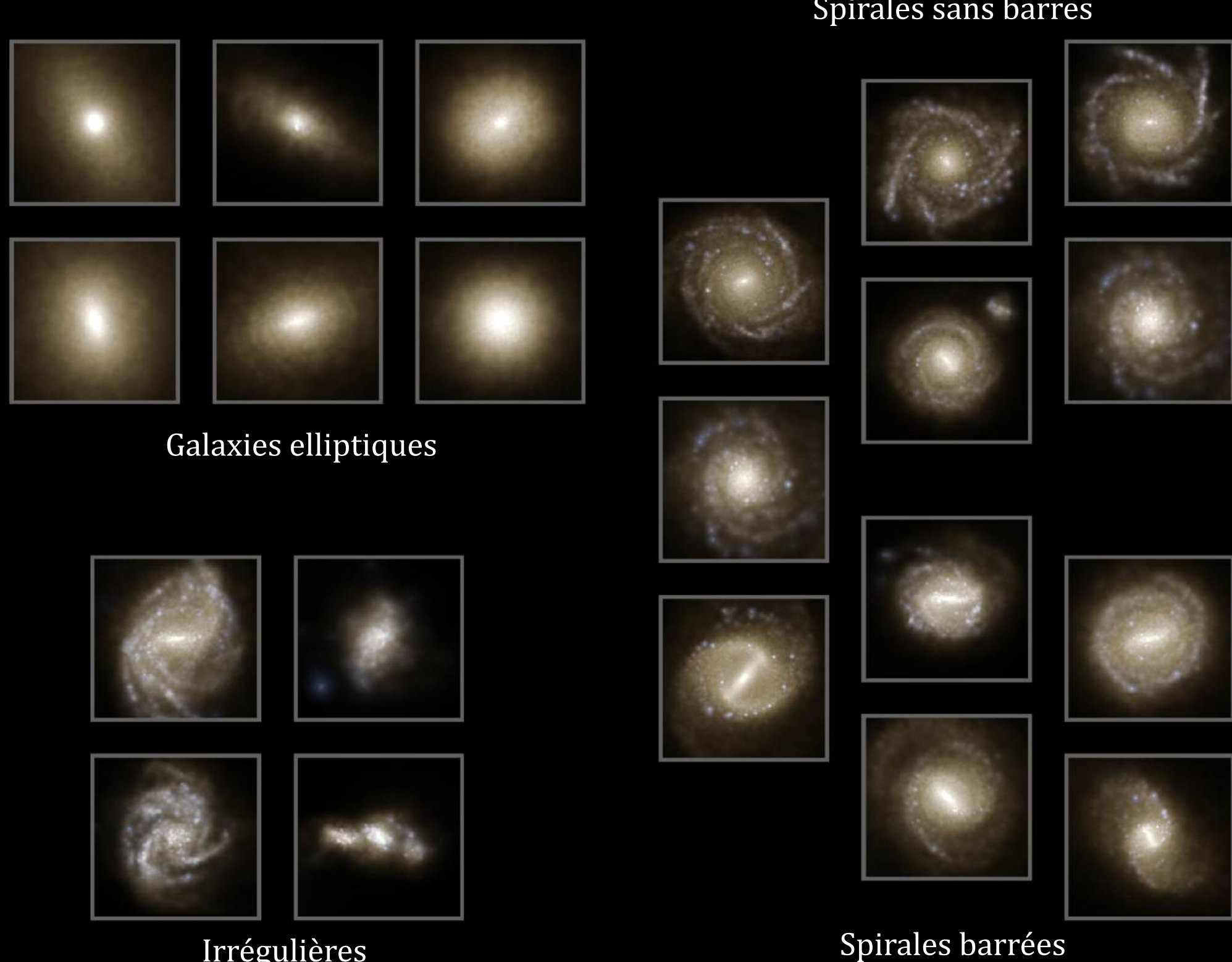


Poster and composite images created from SINGS observations by Karl D. Gordon (Oct 2007)  
 Blue=IRAC 3.6 $\mu$ m (stars)  
 Green=IRAC 8 $\mu$ m  
 (aromatic features from dust grains/molecules)  
 Red=MIPS 24 $\mu$ m (warm dust)

#### SINGS Team

Robert Kennicutt, Jr. (Principal Investigator), Daniela Calzetti (Deputy Principal Investigator), Charles Engelbracht (Technical Contact), Lee Armus, George Bendo, Caroline Bot, Brent Buckalew, John Cannon, Daniel Dale, Bruce Draine, Karl Gordon, Albert Grauer, David Hollenbach, Tom Jarrett, Lisa Kewley, Claus Leitherer, Aigen Li, Sangeeta Malhotra, Martin Meyer, John Moustakas, Eric Murphy, Michael Regan, George Rieke, Marcia Rieke, Helene Rousset, Kartik Sheth, J.D. Smith, Michele Thornley, Fabian Walter & George Helou.

# Galaxies : simulations

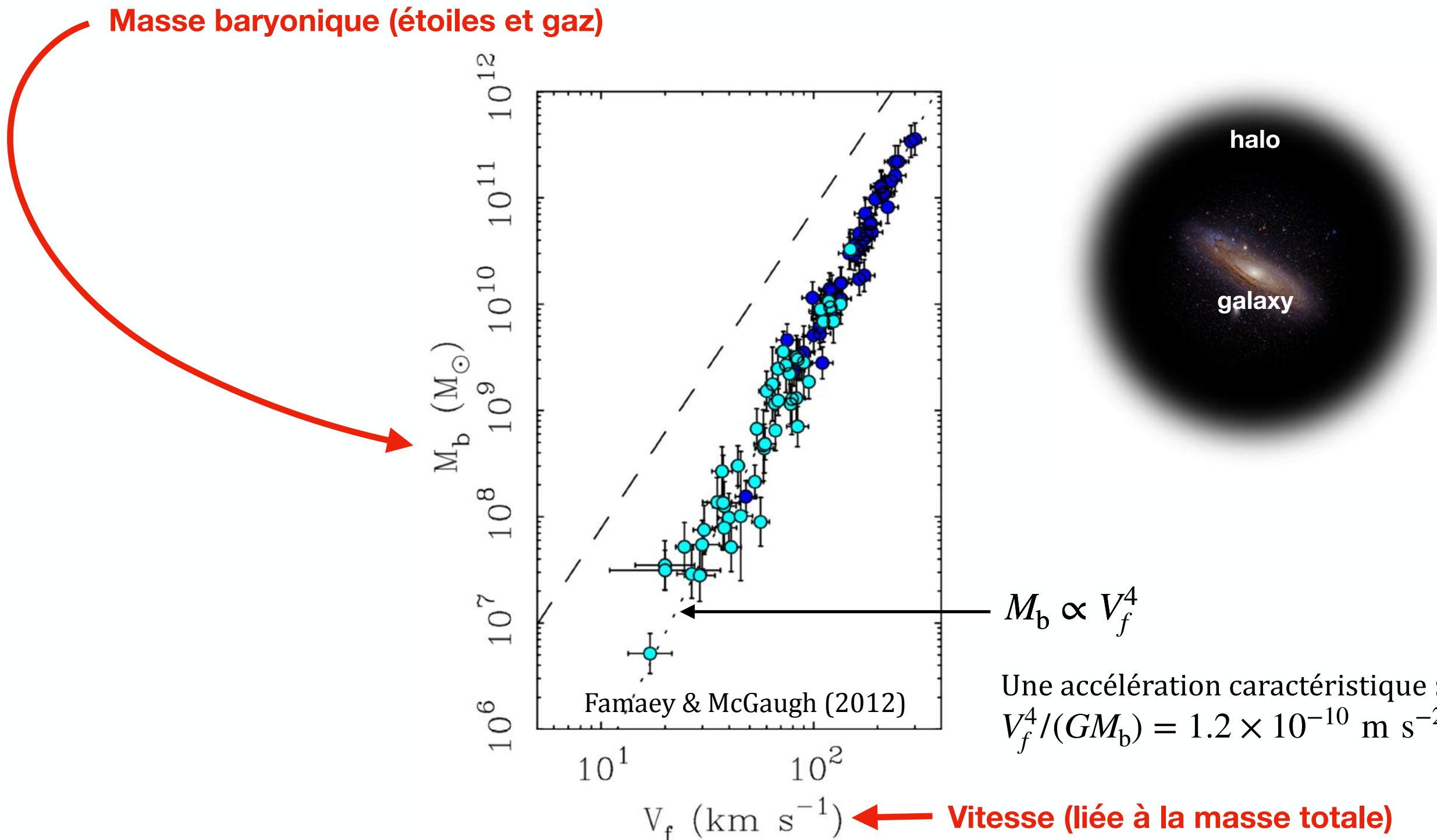


---

## Défis du modèle $\Lambda$ CDM à l'échelle des galaxies

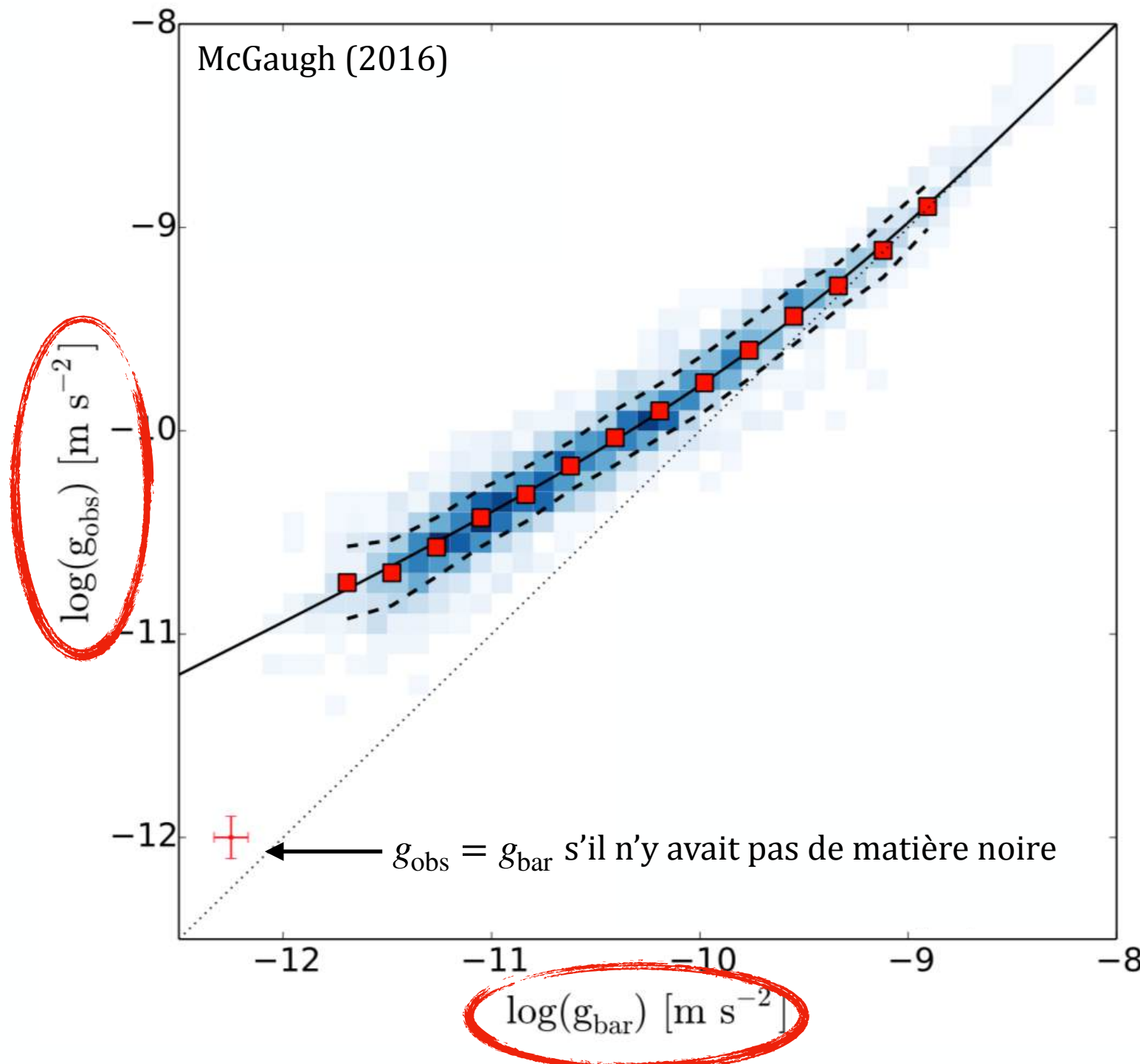
---

# Les galaxies et leurs halos de matière noire: La relation de Tully-Fisher baryonique



**Une trop grande corrélation masse baryonique/champ gravitationnel ?** Tout se passe comme si la quantité de baryons était fixée par la quantité de matière noire du halo, alors même que le halo s'étend bien au-delà de la galaxie et que les processus d'évolution comprennent des fusions violentes et aléatoires qui devraient apporter une certaine variabilité...

# Les galaxies et leurs halos de matière noire: L'accélération radiale

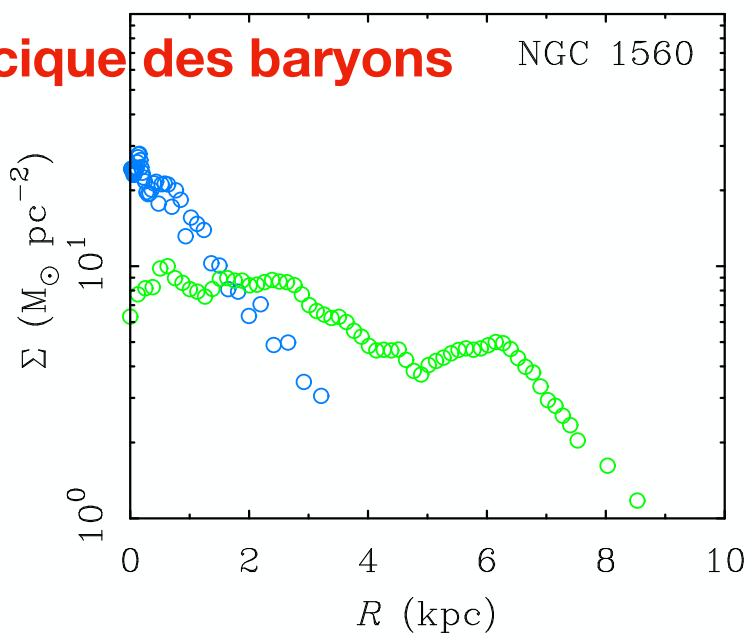


$g_{\text{obs}}$  obtenue à partir de la vitesse observée  
(liée à la masse totale)  
 $g_{\text{bar}}$  obtenue à partir de la distribution des  
baryons (gaz et étoiles)

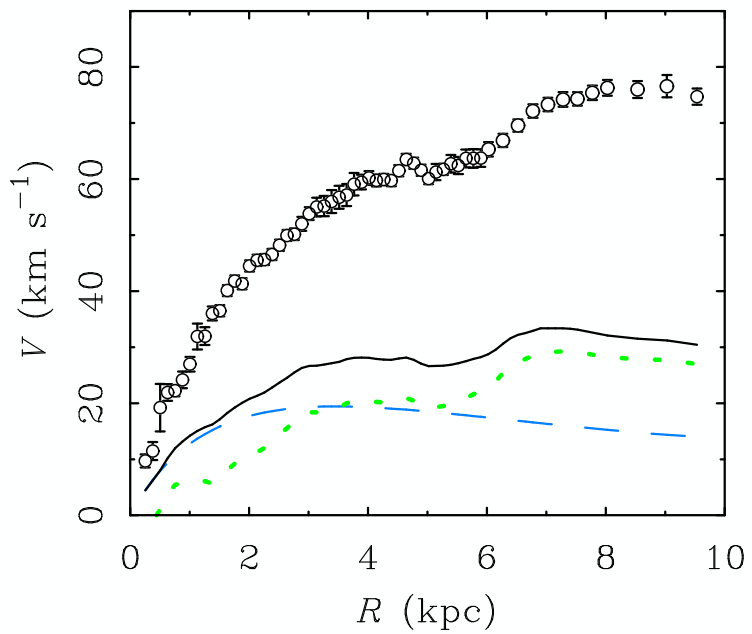
**Une trop grande corrélation masse baryonique/champ gravitationnel ?** Tout se passe comme si la quantité de baryons était fixée par la quantité de matière noire du halo, alors même que le halo s'étend bien au-delà de la galaxie et que les processus d'évolution comprennent des fusions violentes et aléatoires qui devraient apporter une certaine variabilité...

# Les galaxies et leurs halos de matière noire: Des correlations à plus petite échelle (*Renzo's rule*) ?

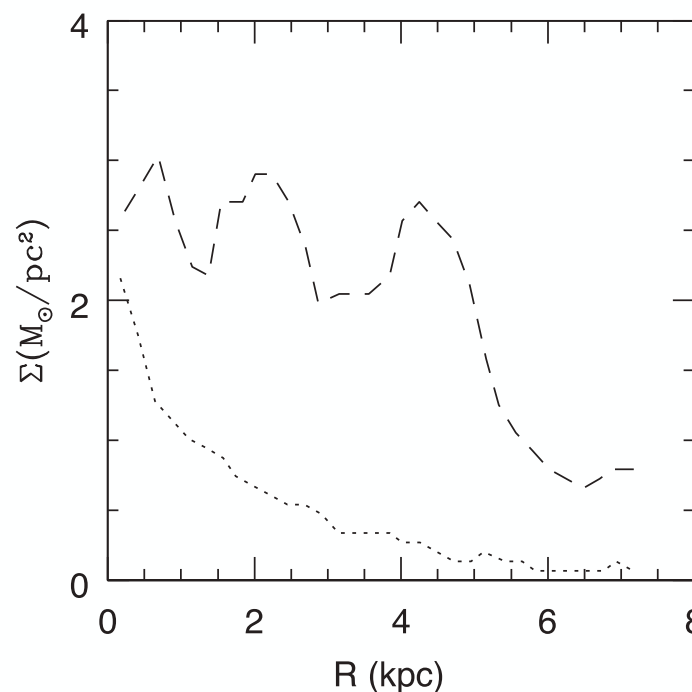
Densité surfacique des baryons



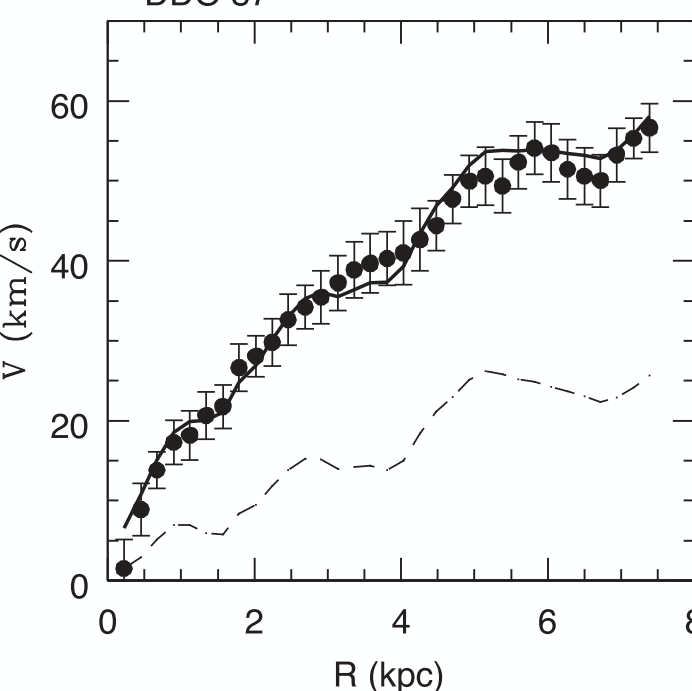
Vitesse de rotation (tracant la masse totale)



Famaey & McGaugh (2012)



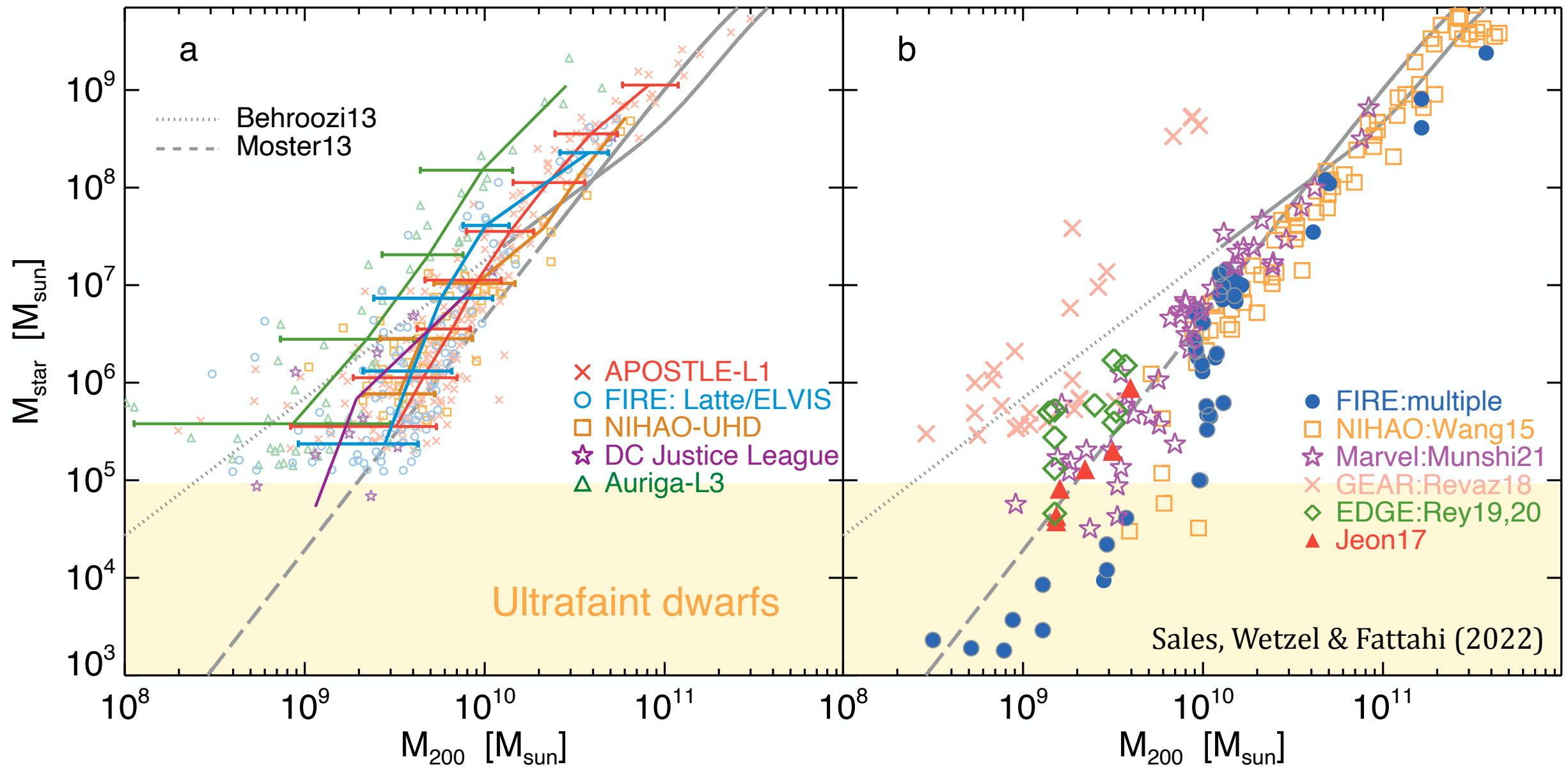
DDO 87



Sanders 2019

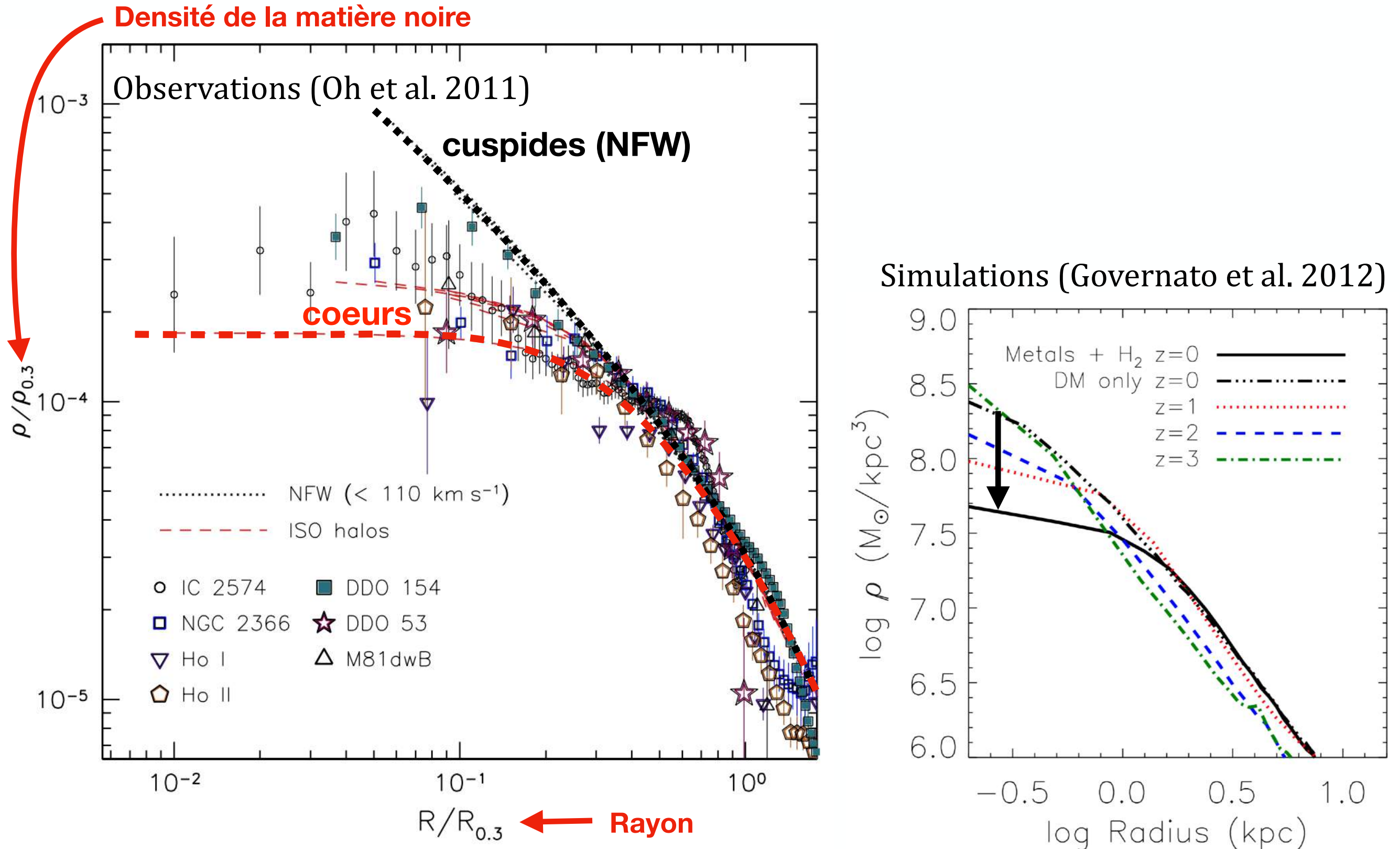
**Une trop grande corrélation masse baryonique/champ gravitationnel ?** Tout se passe comme si la quantité de baryons était fixée par la quantité de matière noire du halo, alors même que le halo s'étend bien au-delà de la galaxie et que les processus d'évolution comprennent des fusions violentes et aléatoires qui devraient apporter une certaine variabilité...

# Les galaxies et leurs halos de matière noire: Différentes prédictions issues des simulations



La relation entre la **masse stellaire ( $M_{\text{star}}$ )** et la **masse du halo de matière noire ( $M_{200}$ )** peut varier d'une simulation à l'autre, en particulier pour les galaxies les moins massives.

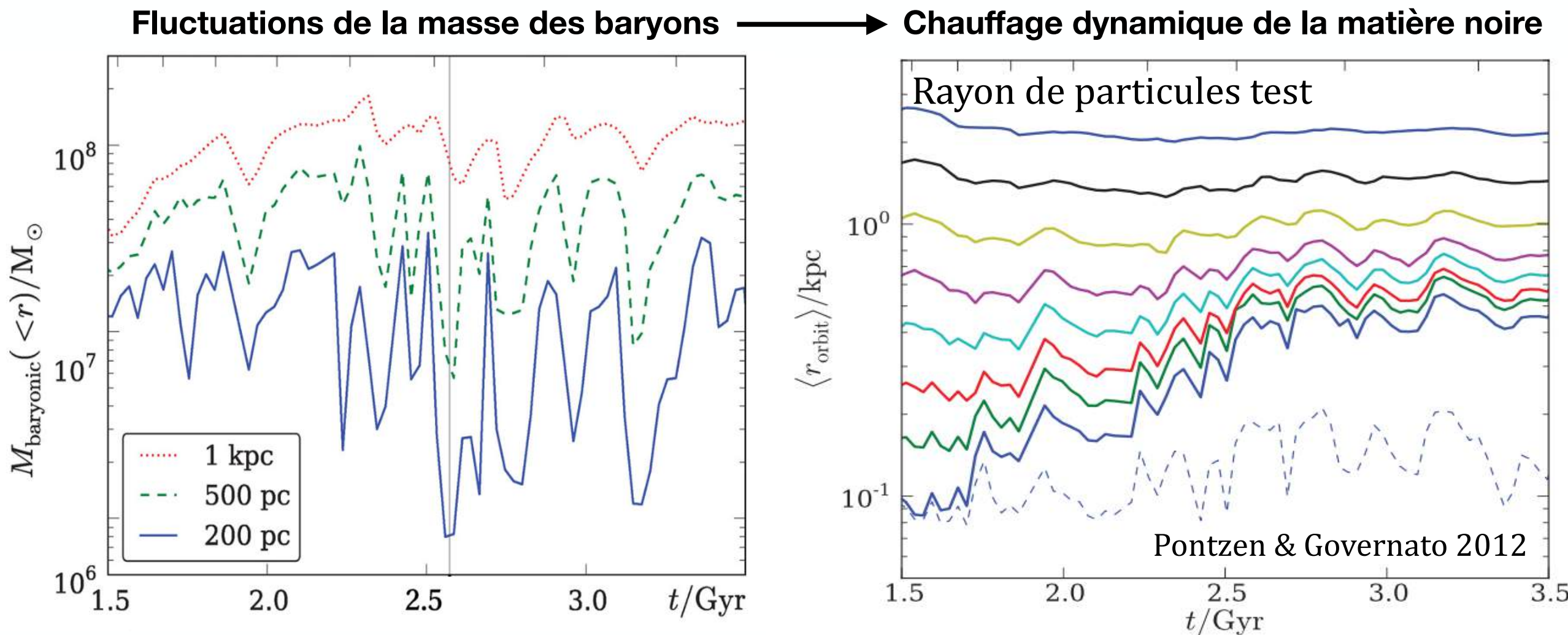
# La répartition de la matière noire : Le problème des cuspides



Les simulations de matière noire seule prédisent des profils de densité pour les halos de matière noire plus « pentus » au centre (les cuspides) qu'observé. L'introduction des phénomènes baryoniques dans les simulations permet toutefois de réduire cette tension.

# La répartition de la matière noire : Comment les baryons peuvent-ils affecter la matière noire ?

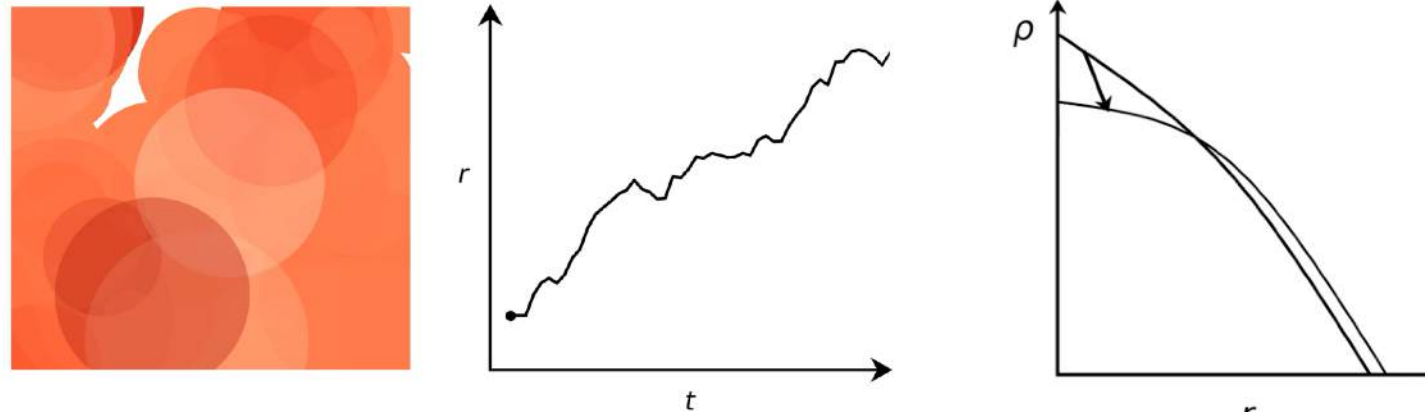
- ◆ Contraction adiabatique (Blumenthal+1986)
- ◆ Friction dynamique (El-Zant+2001, 2004)
- ◆ Fluctuations répétées du potentiel gravitationnel dues aux phénomènes baryoniques dits de *feedback* : vents stellaires, champs de radiation, explosions de supernovae, noyaux actifs autour des trous noirs super-massifs (Pontzen & Governato 2012)



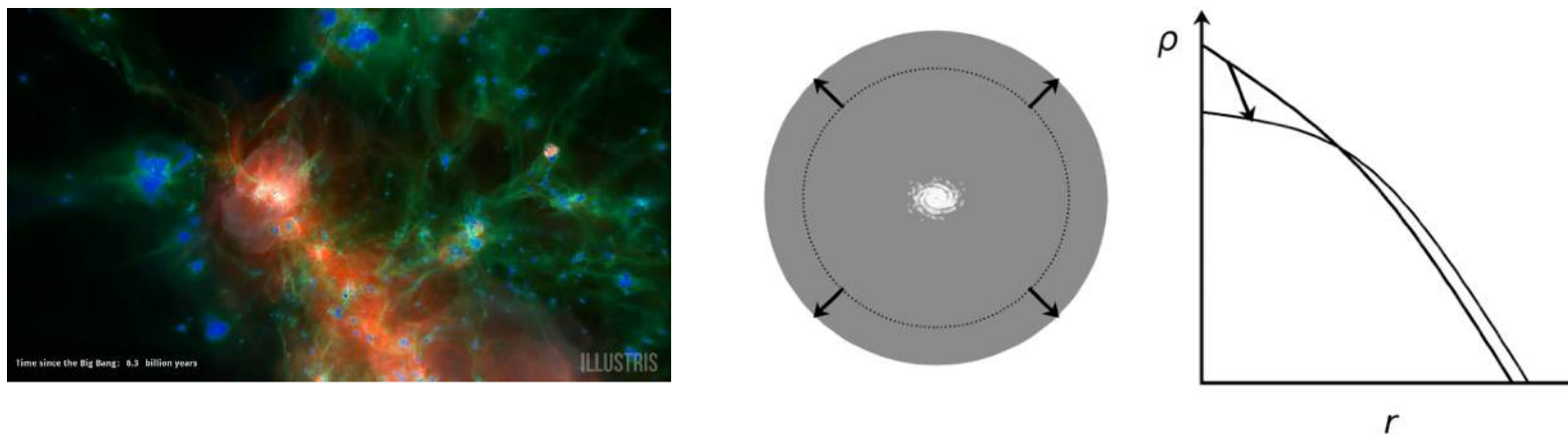
Cf. aussi El-Zant, Freundlich & Combes (2016), Freundlich et al. (2020), Dekel, Freundlich et al. (2021)

# La répartition de la matière noire : Comment les baryons peuvent-ils affecter la matière noire ?

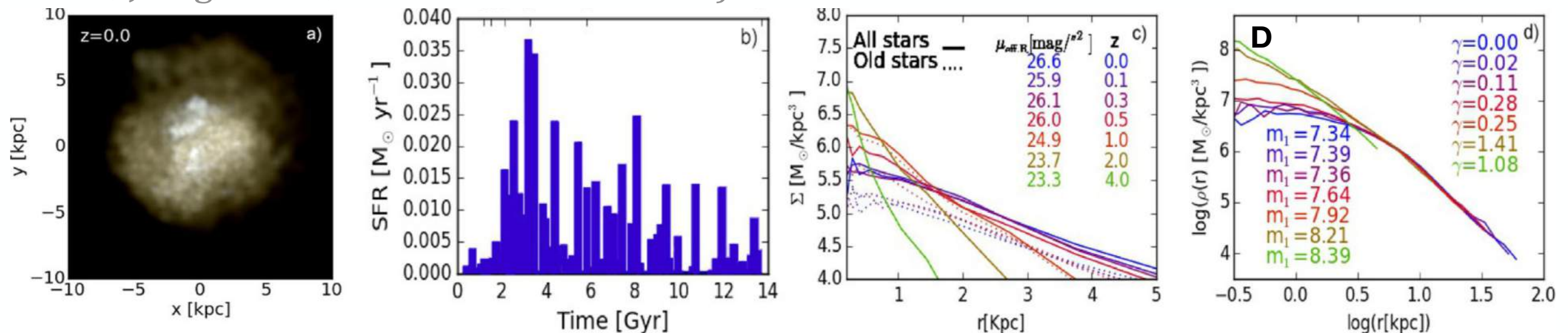
- ♦ Effet cumulatif des petites fluctuations du milieu interstellaire dues au feedback (El-Zant, Freundlich & Combes 2016)



- ♦ Ejection brutale d'une grande quantité de gaz du fait du feedback (Freundlich et al. 2020)

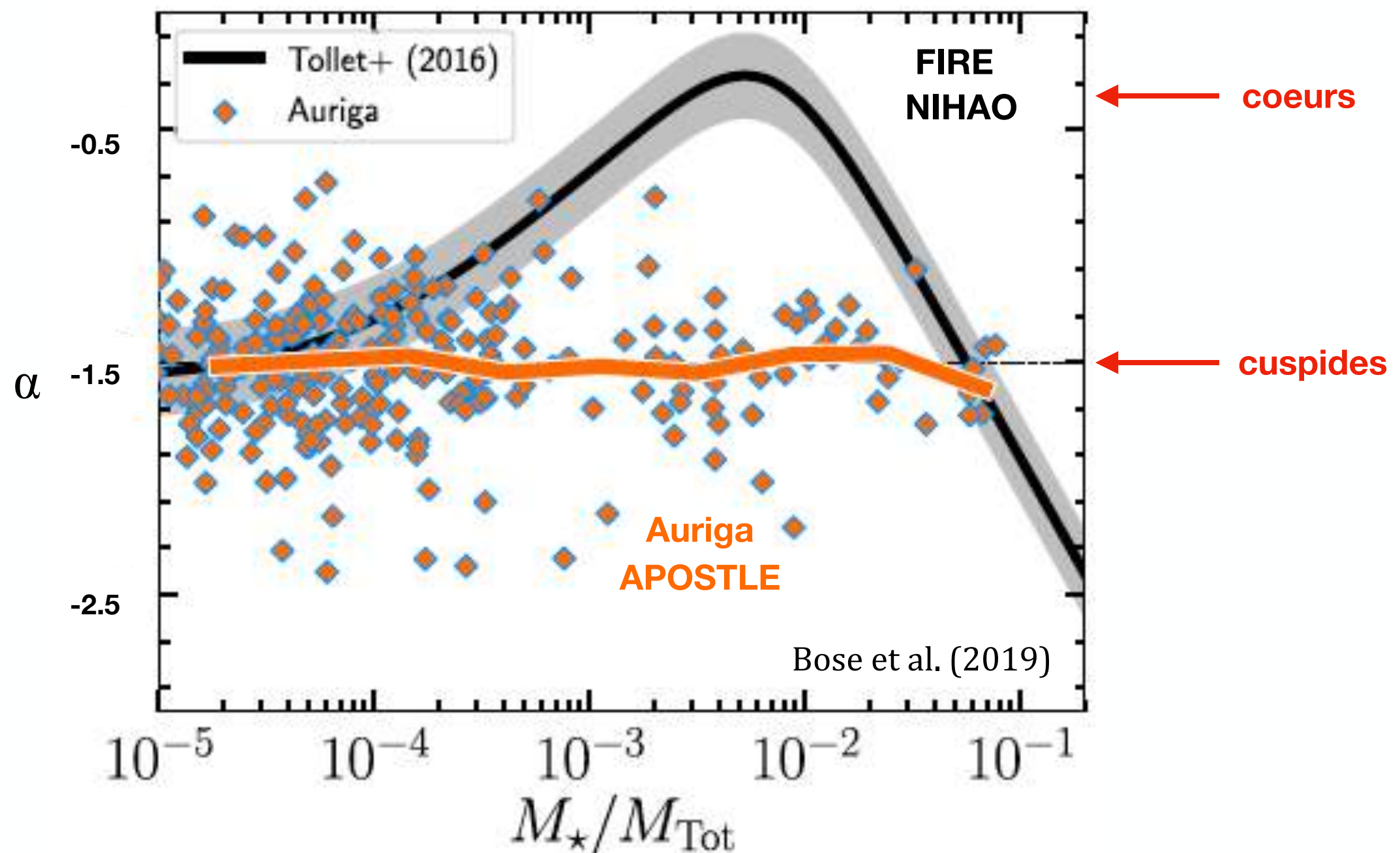


- ♦ Le même phénomène pourrait aussi faire enfler les galaxies ultra-diffuses (Di Cintio et al. 2017, Jiang, Dekel, Freundlich et al. 2019)



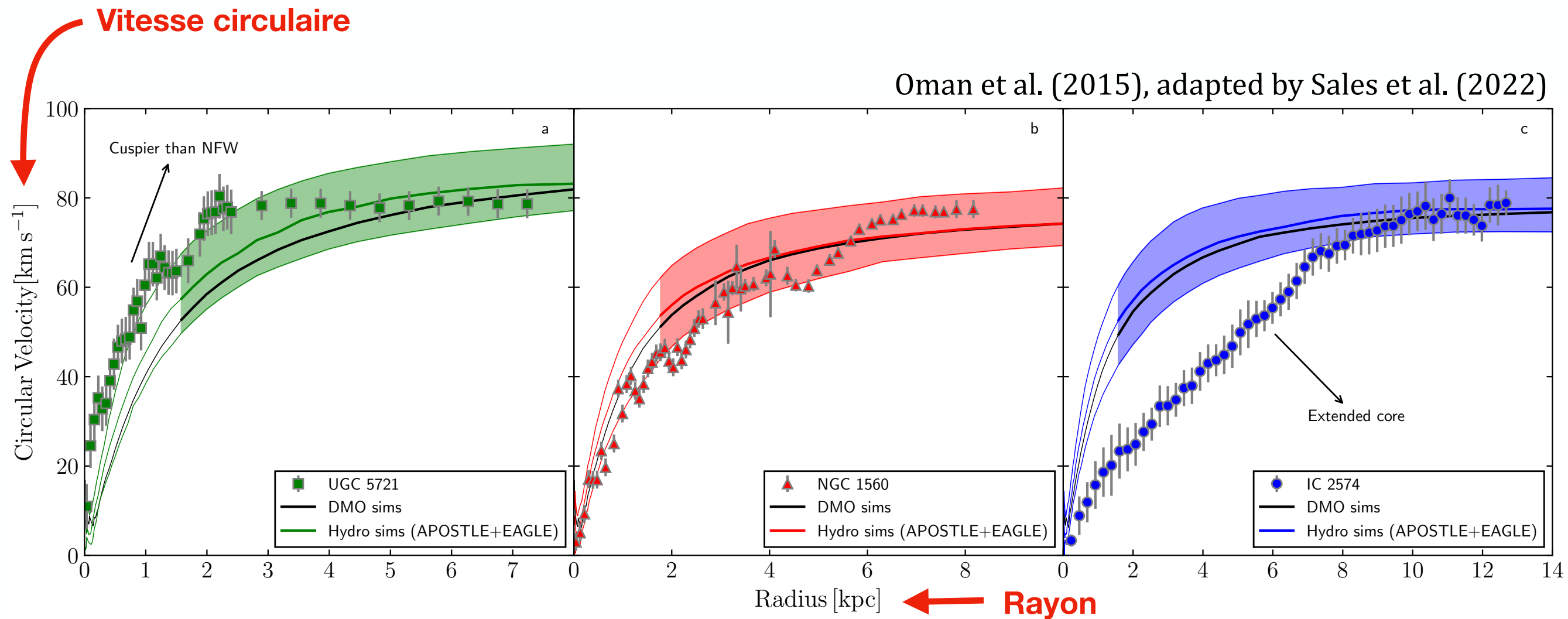
# La répartition de la matière noire : Comment les baryons affectent-ils la matière noire ?

Pente au centre du halo de matière noire



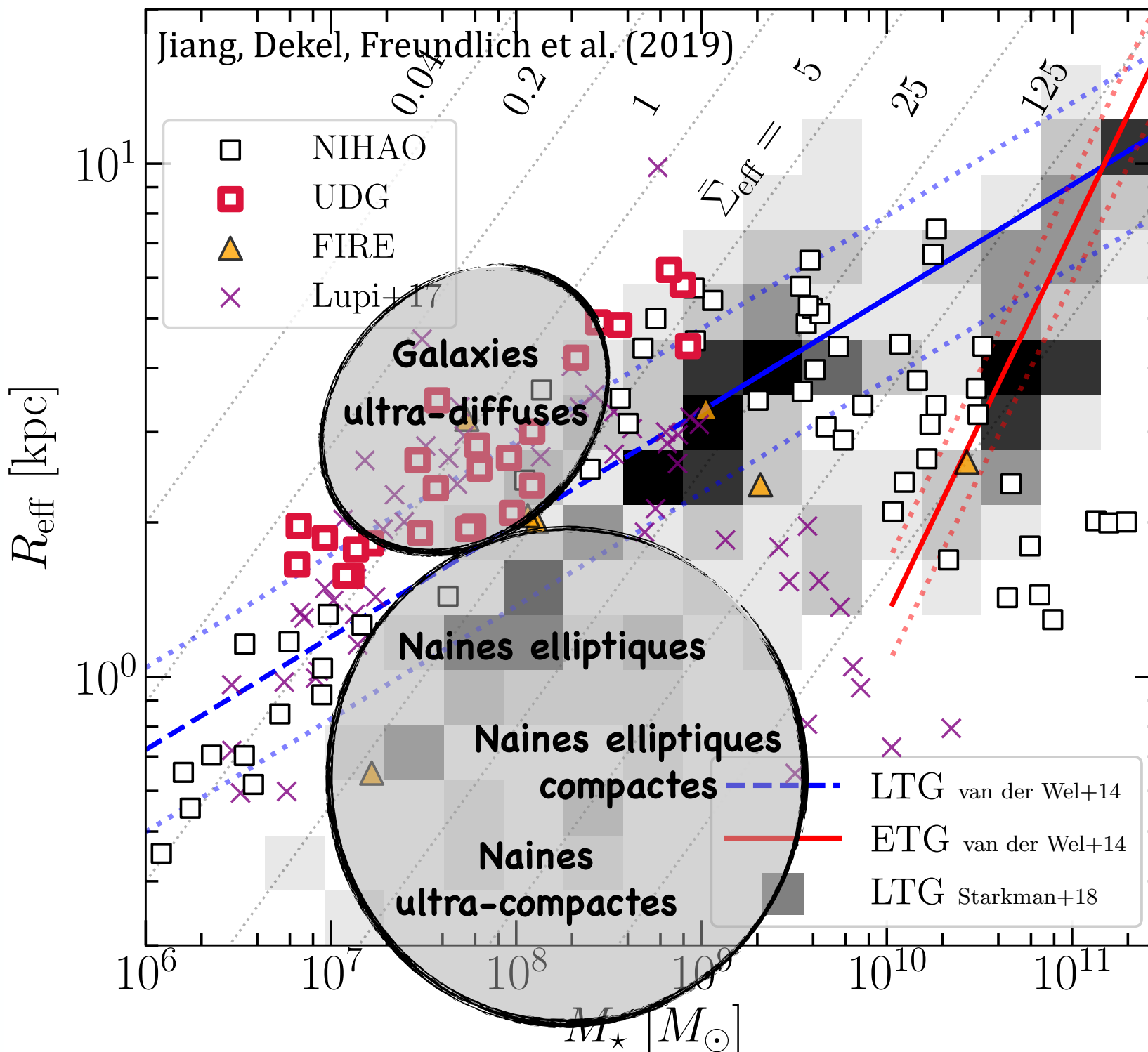
Les simulations prenant en compte les phénomènes baryoniques prédisent des répartitions de matière noire très différentes (formation des étoiles et phénomènes de feedback différents).

# La répartition de la matière noire : La diversité des courbes de rotation



On observe une diversité des courbes de rotation (i.e. de la répartition de la matière noire) à masse totale donnée, alors qu'on aurait pu s'attendre à plus d'uniformité dans le cadre du modèle.

# Galaxies naines et satellites : Un problème de diversité des galaxies naines



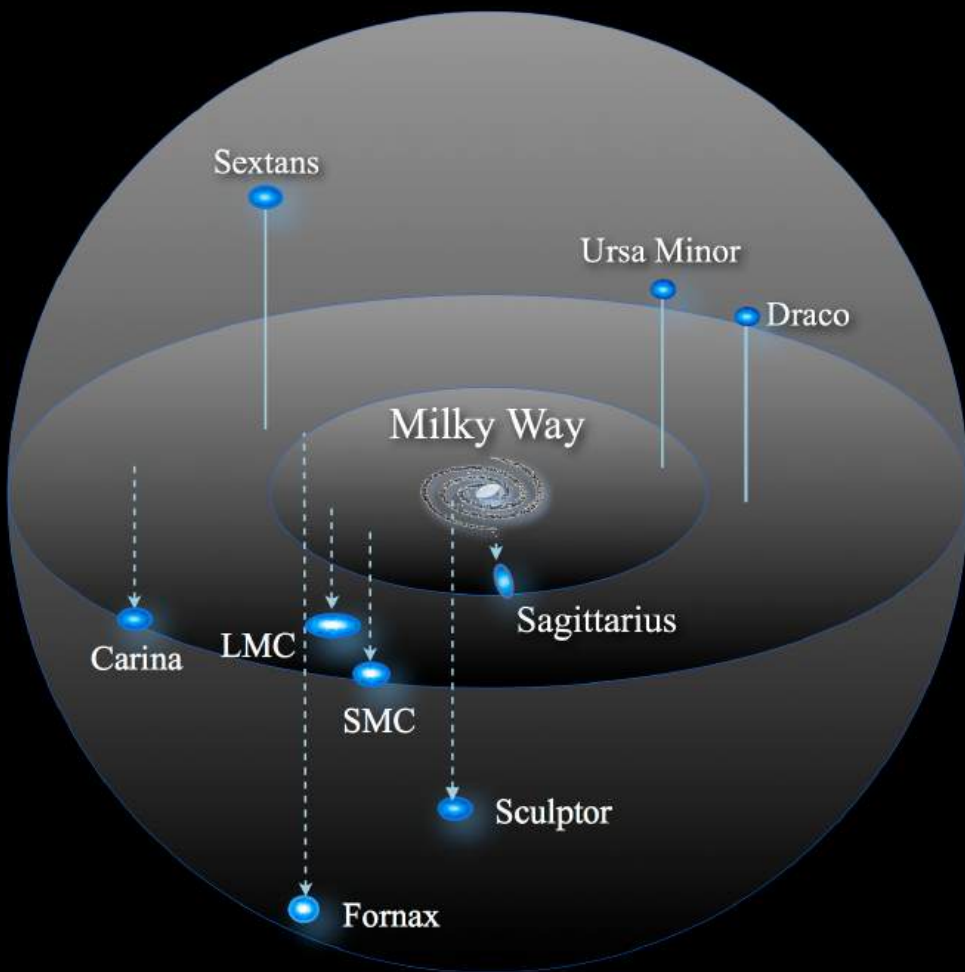
Les simulations ne produisent pas les bonnes populations de galaxies naines. Par exemple, pas de naines compactes dans les simulations NIHAO.

# Galaxies naines et satellites : Le problème « too big to fail »

Galaxie simulée de type Voie Lactée



Satellites de la Voie Lactée



Weinberg et al. (2013)

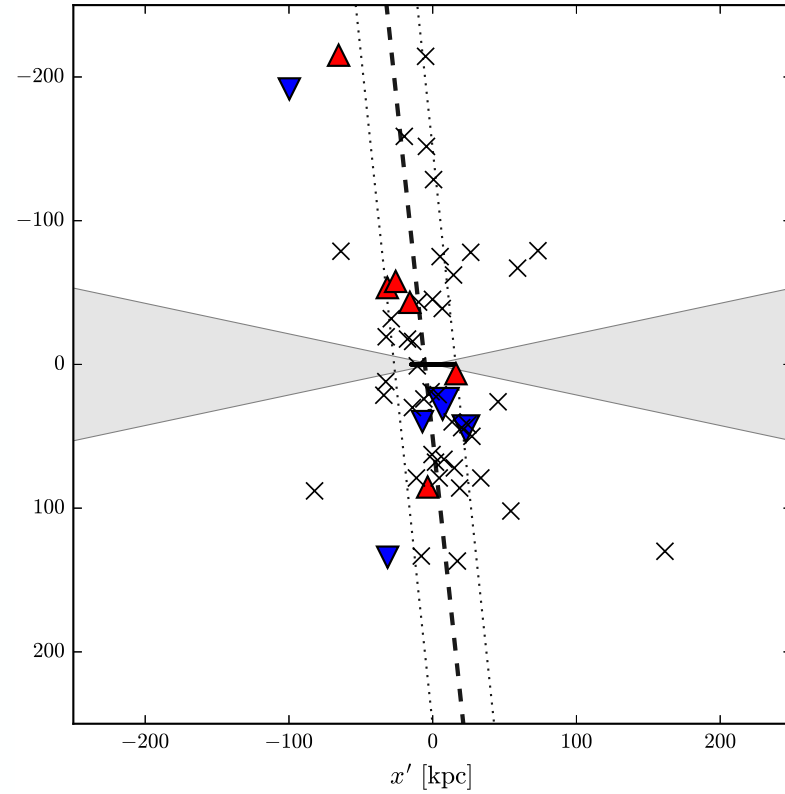
La masse de matière noire des satellites observés est typiquement plus petite que dans les simulations : certains sous-halos massifs auraient-ils échoué à former des étoiles (alors qu'ils n'auraient pas dû échouer) ?

Autres possibilités : masse de la Voie Lactée plus petite, coeurs de matière noire pour les sous-halos, érosion par les forces de marée...

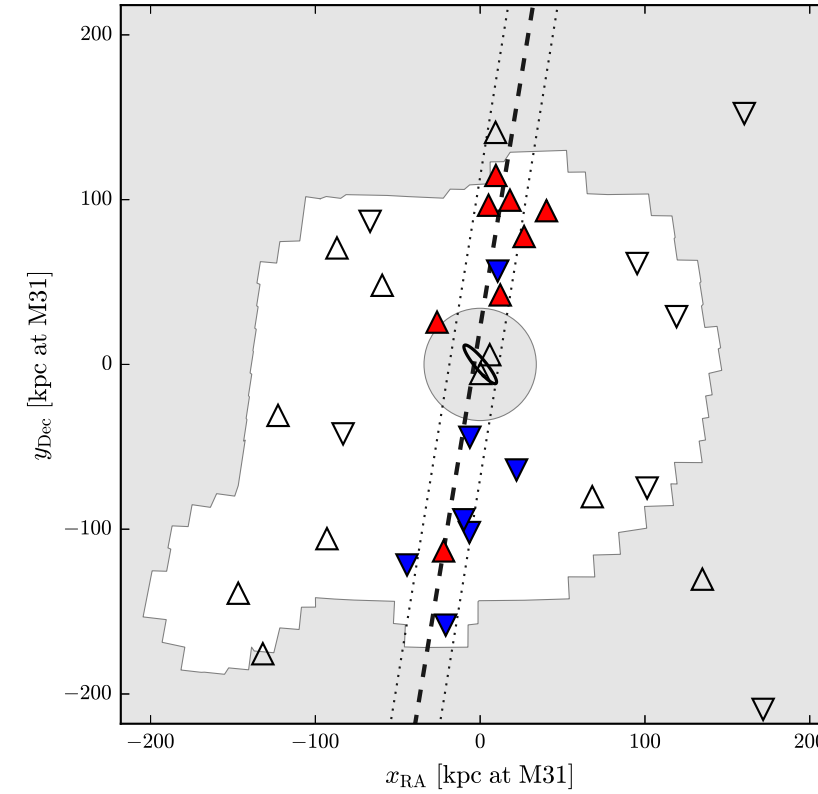
# Galaxies naines et satellites :

## Les plans de satellites

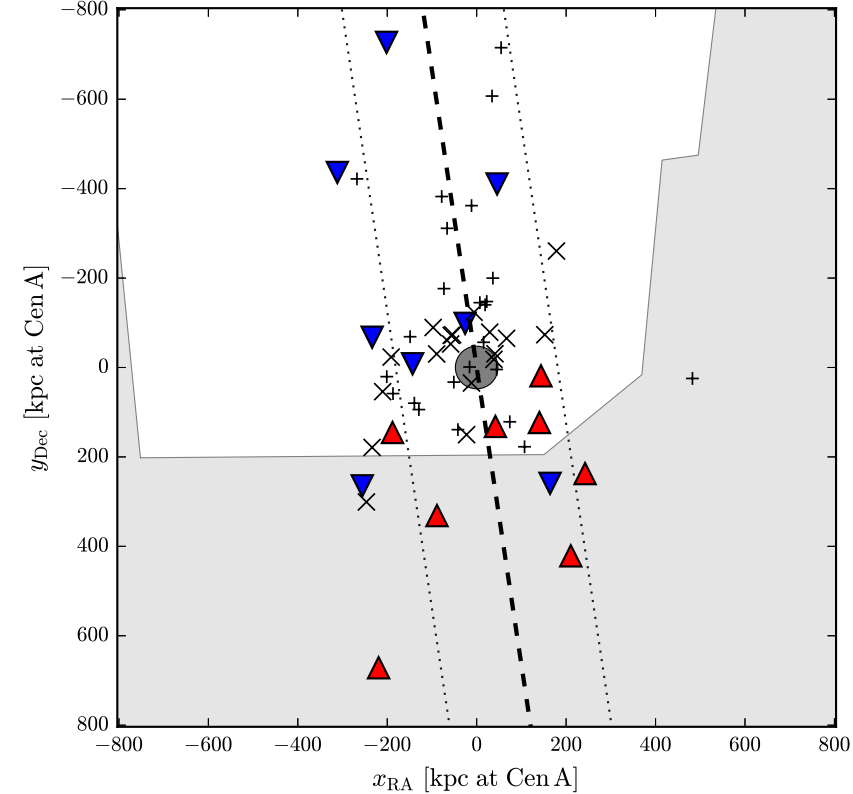
Voie Lactée



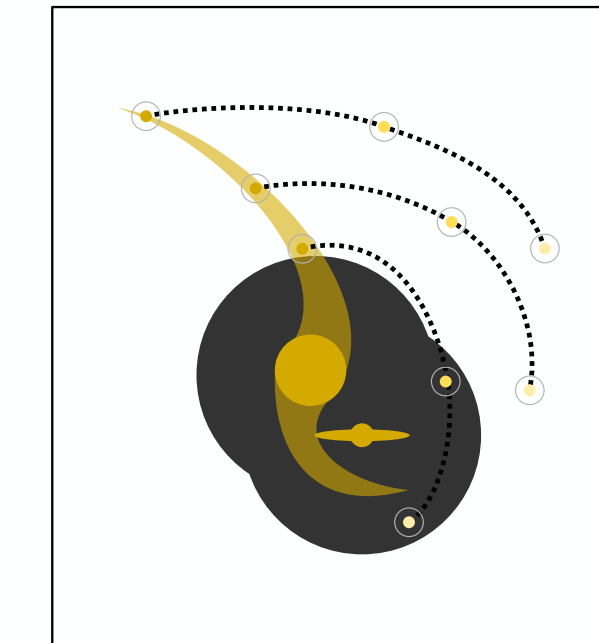
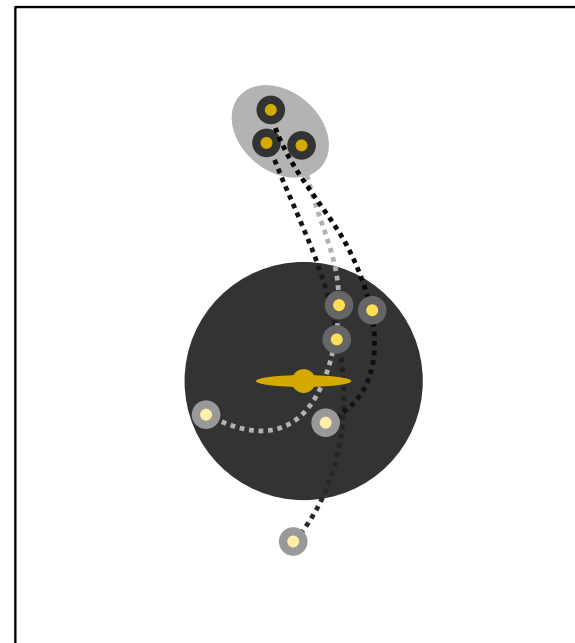
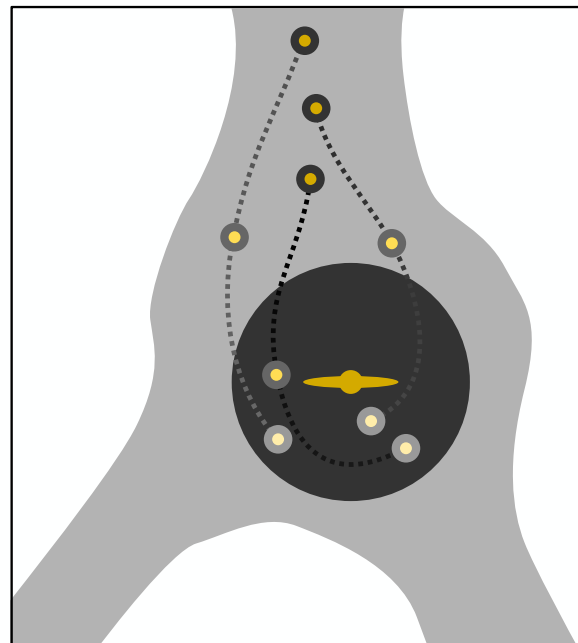
Andromède



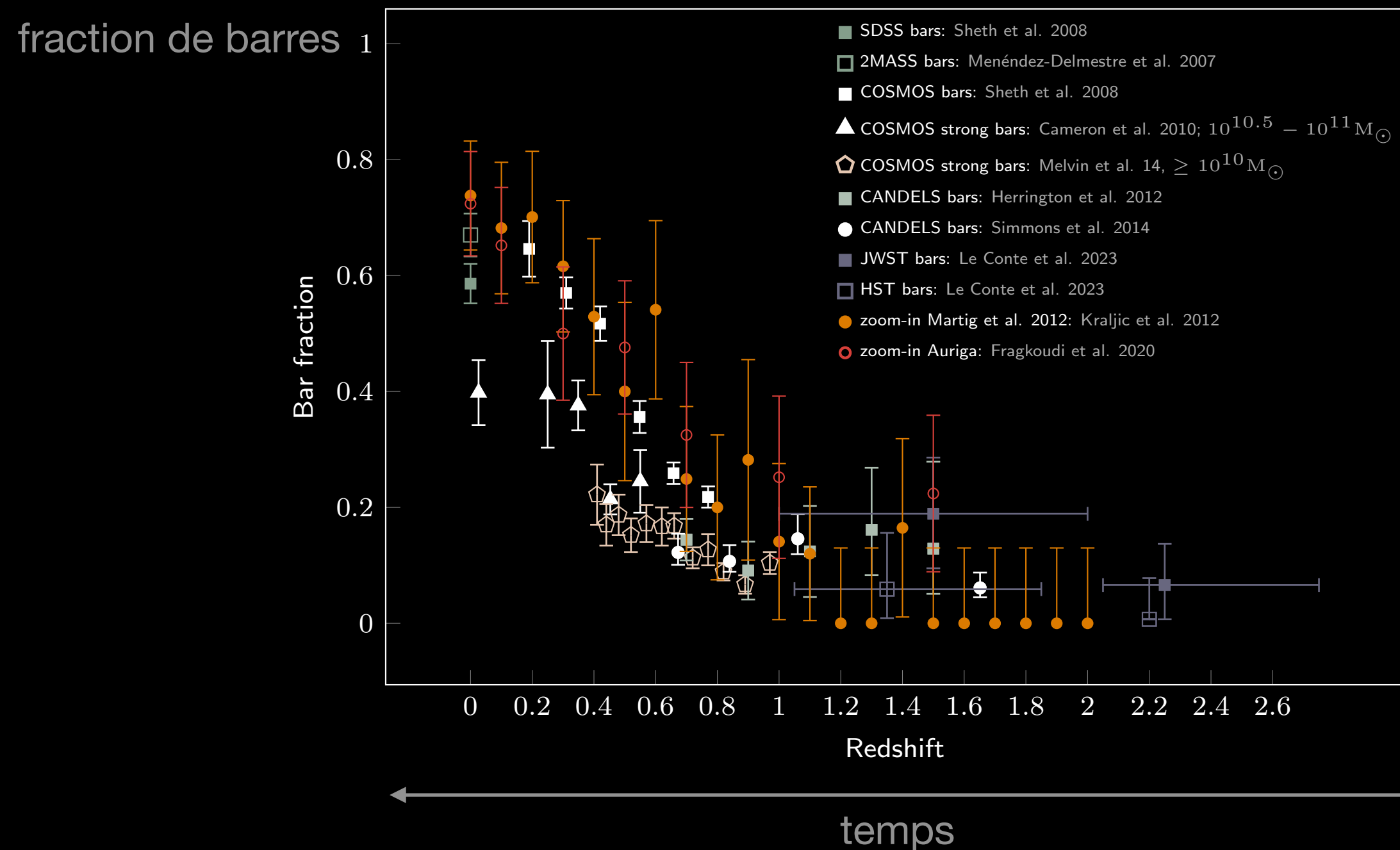
Centaurus A



Les simulations  $\Lambda$ CDM indiquent un très faible nombre de tels plans... Filaments issus de la toile cosmique ? Accrétion groupée ? Naines de marées ? Situation temporaire ?

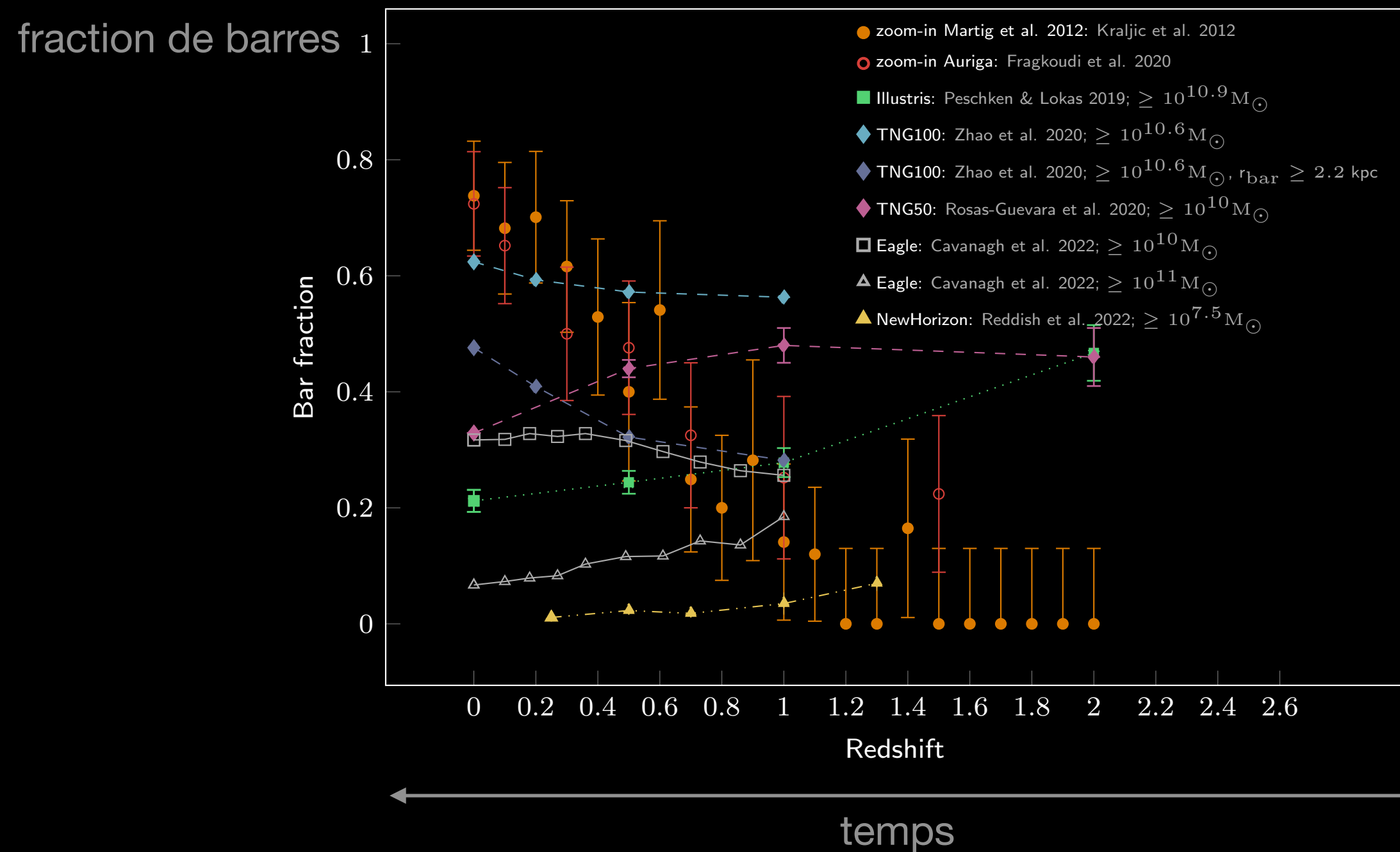


# Morphologie des galaxies : Les barres



Crédits : K. Kraljic

# Morphologie des galaxies : Les barres



Seules quelques simulations zoom-in reproduisent l'évolution observée de la fraction des barres avec le temps, toutes les grandes simulations cosmologiques y échouent.

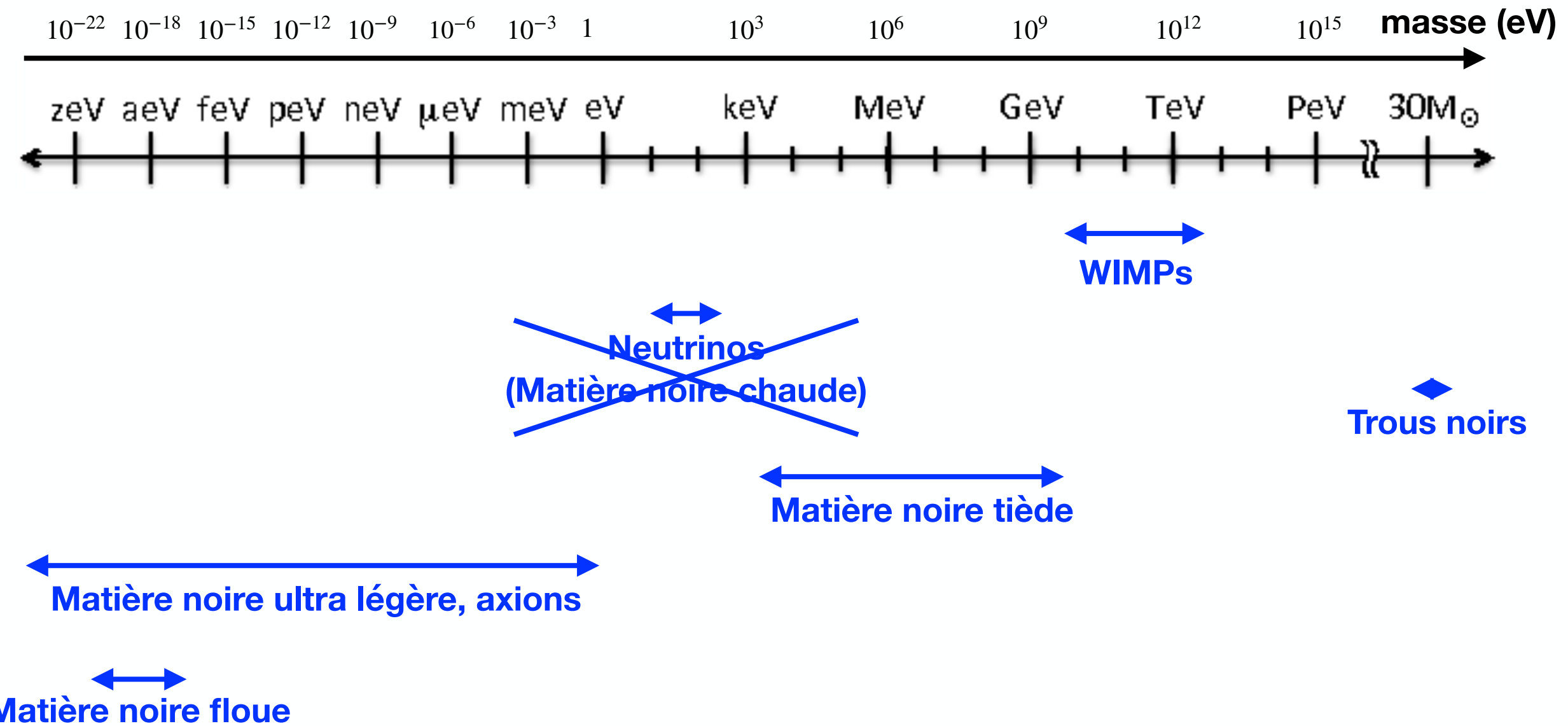
Crédits : K. Kraljic

---

## Alternatives au modèle $\Lambda$ CDM

---

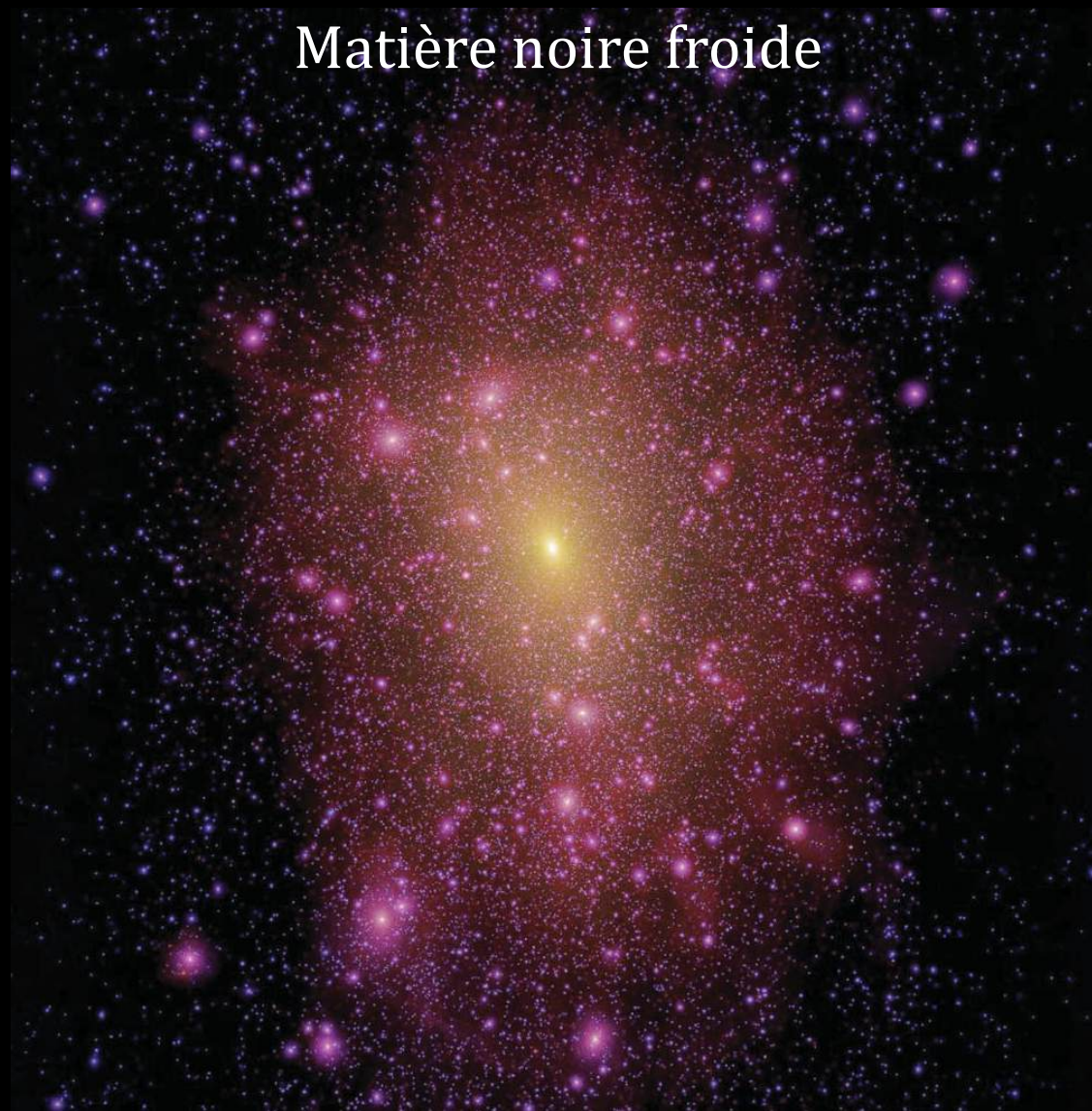
# Quelques candidats du secteur sombre



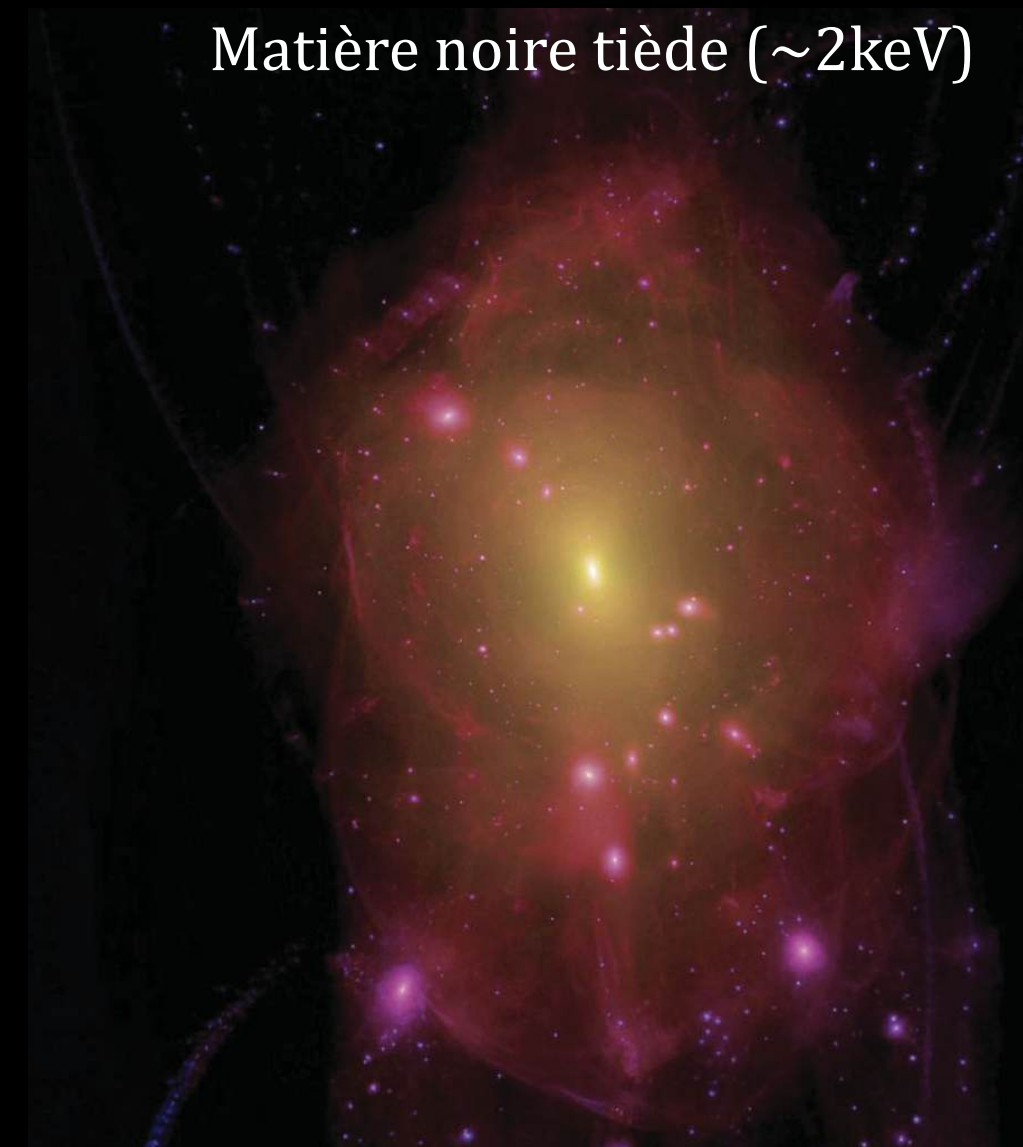
# La matière noire tiède (WDM)

~keV

Matière noire froide



Matière noire tiède ( $\sim 2\text{keV}$ )

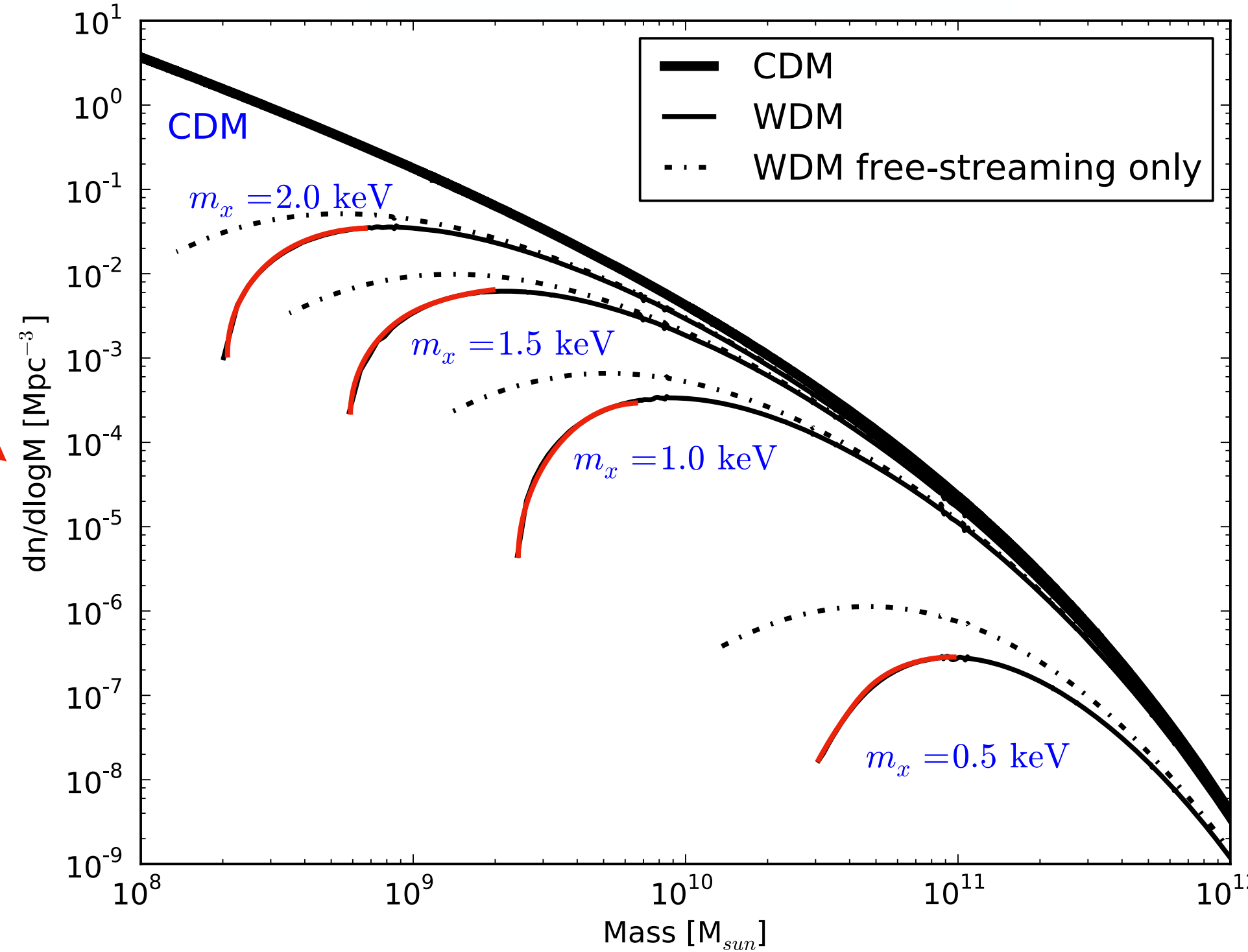


# La matière noire tiède (WDM)

~keV

Nombre de halos d'une certaine masse

La fonction de masse de la matière noire tiède (à z=10)

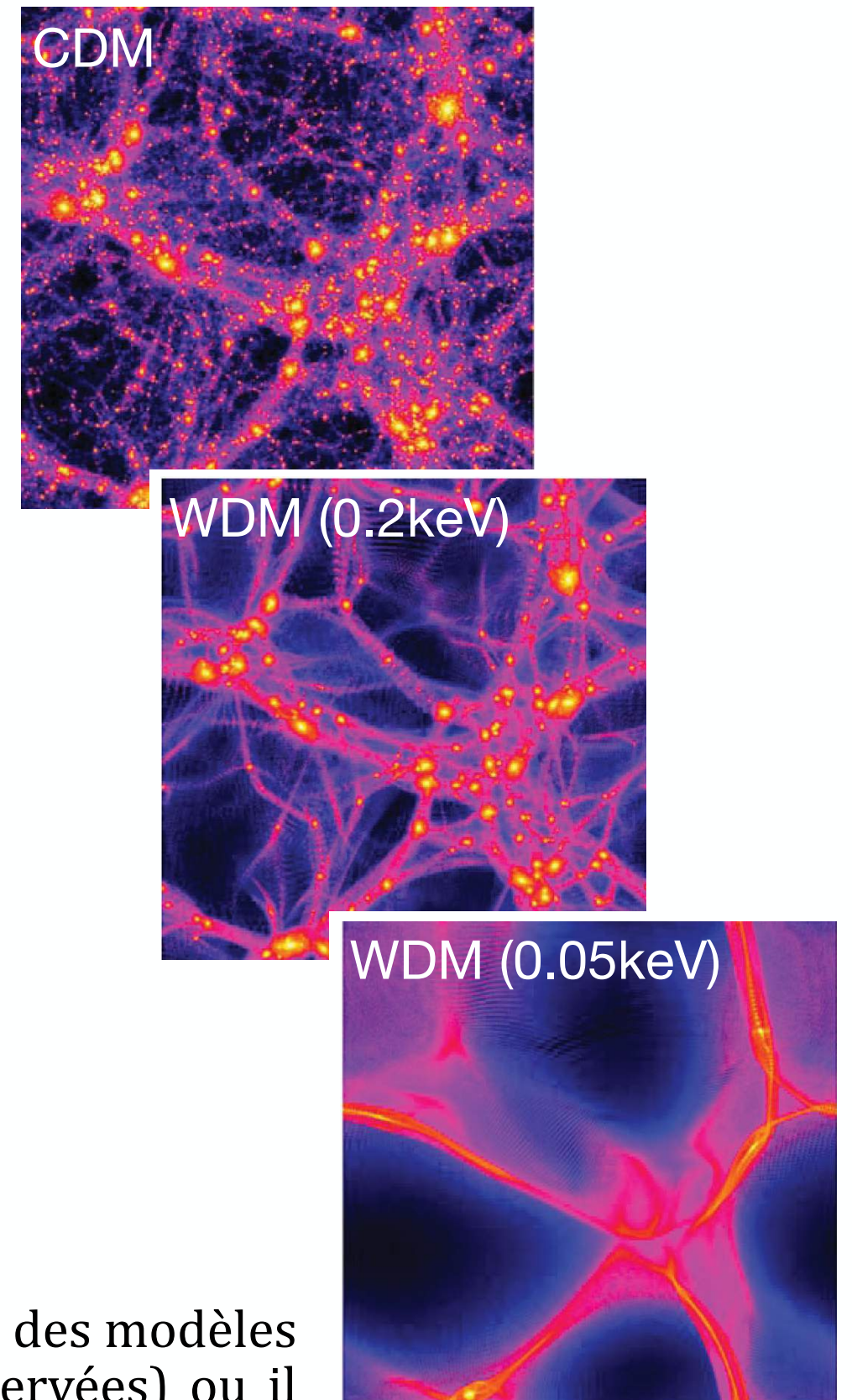
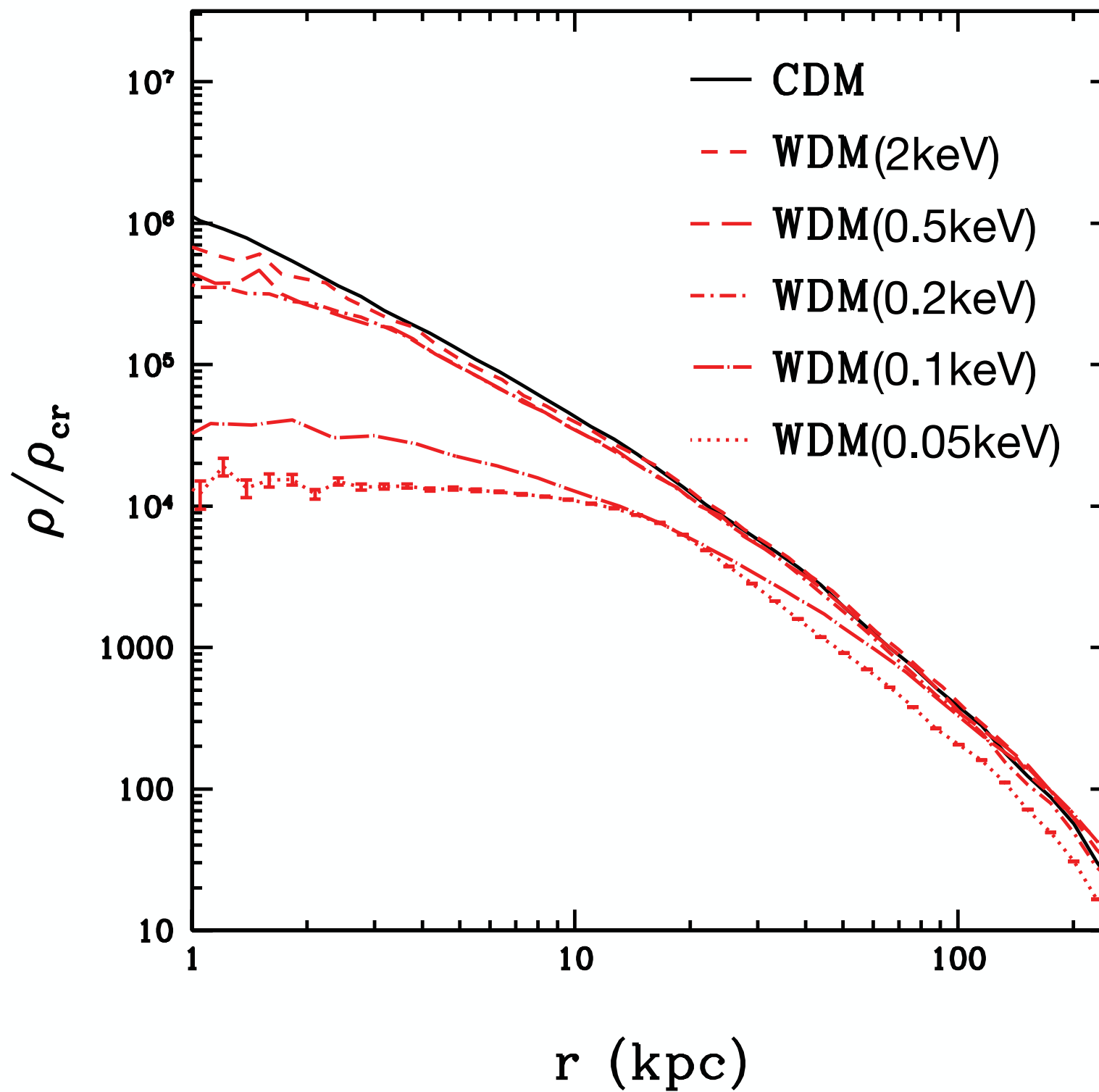


Les petites structures sont supprimées...

Pacucci et al. (2013)

# La matière noire tiède (WDM)

~keV



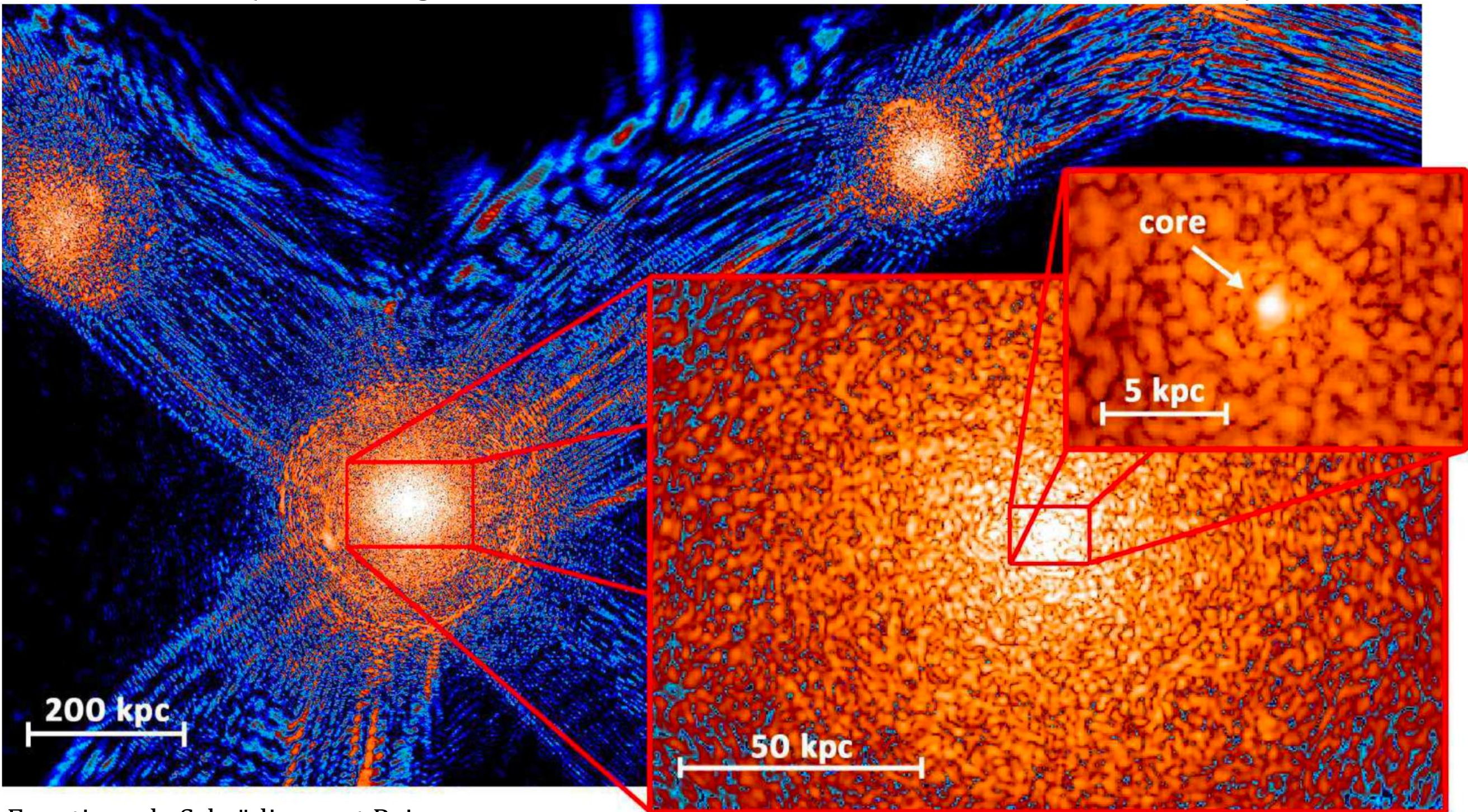
Pour former un cœur, il faut des masses très petites exclues des modèles (on ne forme pas des galaxies comme celles qui sont observées) ou il faut quand même invoquer le feedback...

Maccio et al. (2012)

# La matière noire floue (FDM)

$\sim 10^{-22}$  eV

(a.k.a Ultra Light DM, Scalar Field DM, Wave DM, Bose-Einstein Condensate DM)



Équations de Schrödinger et Poisson :

$$i\hbar \frac{\partial}{\partial t} \psi(\mathbf{r}, t) = -\frac{\hbar^2}{2m} \nabla^2 \psi(\mathbf{r}, t) + m \Phi_s(\mathbf{r}, t) \psi(\mathbf{r}, t)$$

$$\nabla^2 \Phi_s(\mathbf{r}, t) = 4\pi G |\psi(\mathbf{r}, t)|^2$$

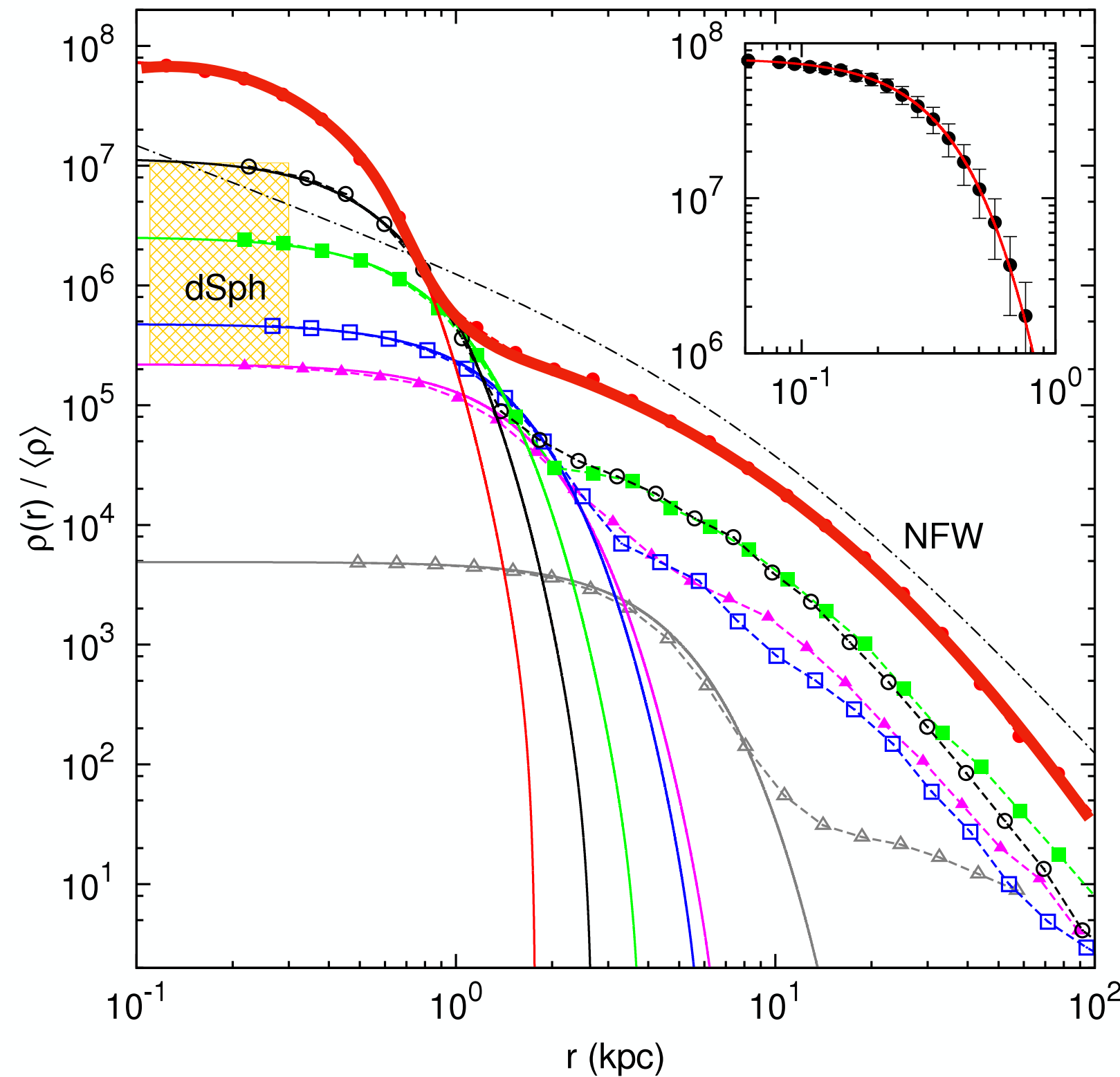
Interférences, granules, cœur (soliton)

FDM : Fuzzy Dark Matter

Schive et al. (2014)

# La matière noire floue (FDM)

$\sim 10^{-22}$  eV

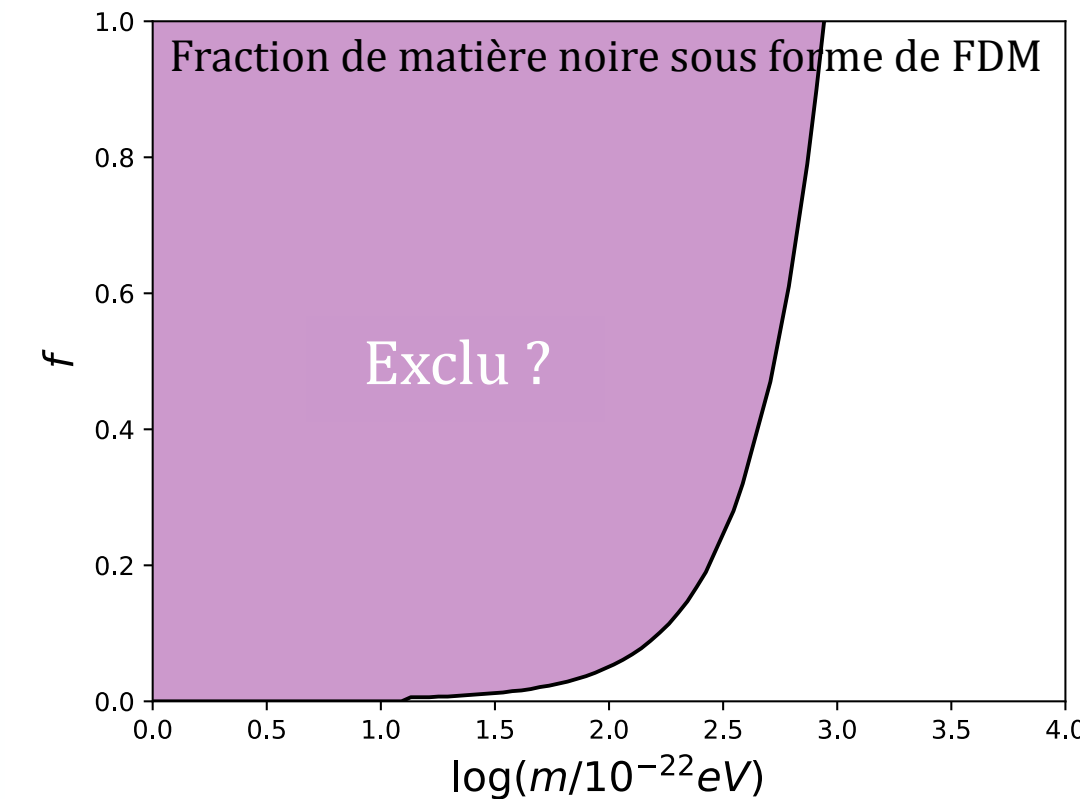
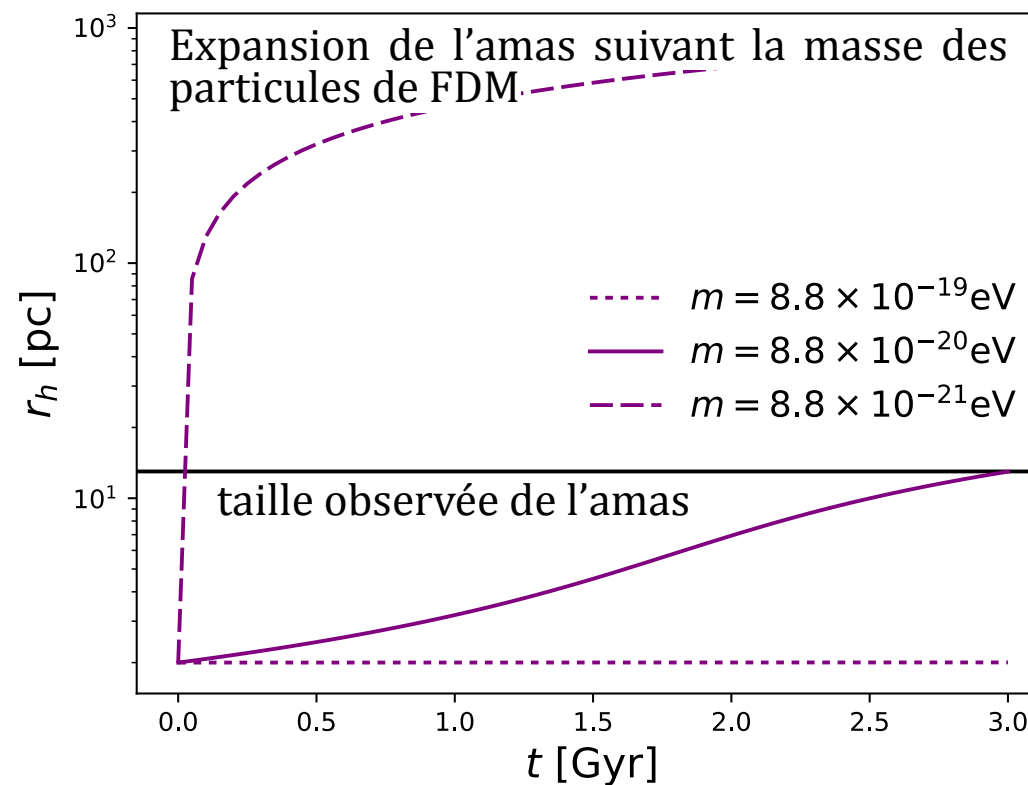


# La matière noire floue (FDM)

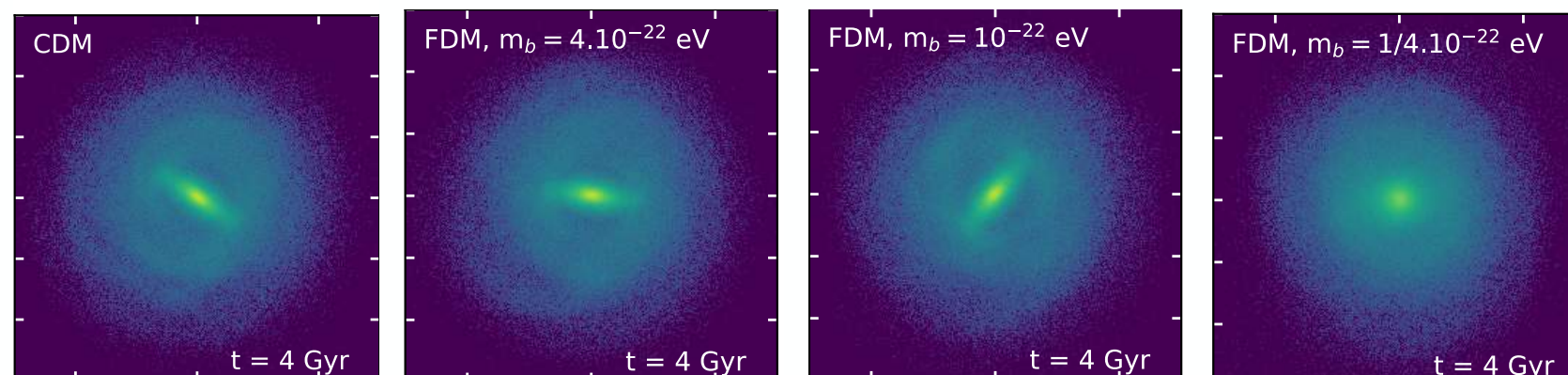
$\sim 10^{-22}$  eV

Contraindre la masse des particules de fuzzy dark matter grâce au chauffage dynamique résultant des fluctuations de densité dans le halo ?

- ♦ Survie de l'amas d'étoiles au centre de la galaxie naine Eridanus II (Marsh & Niemeyer 2019, El-Zant, Freundlich, Combes & Hallé 2020)

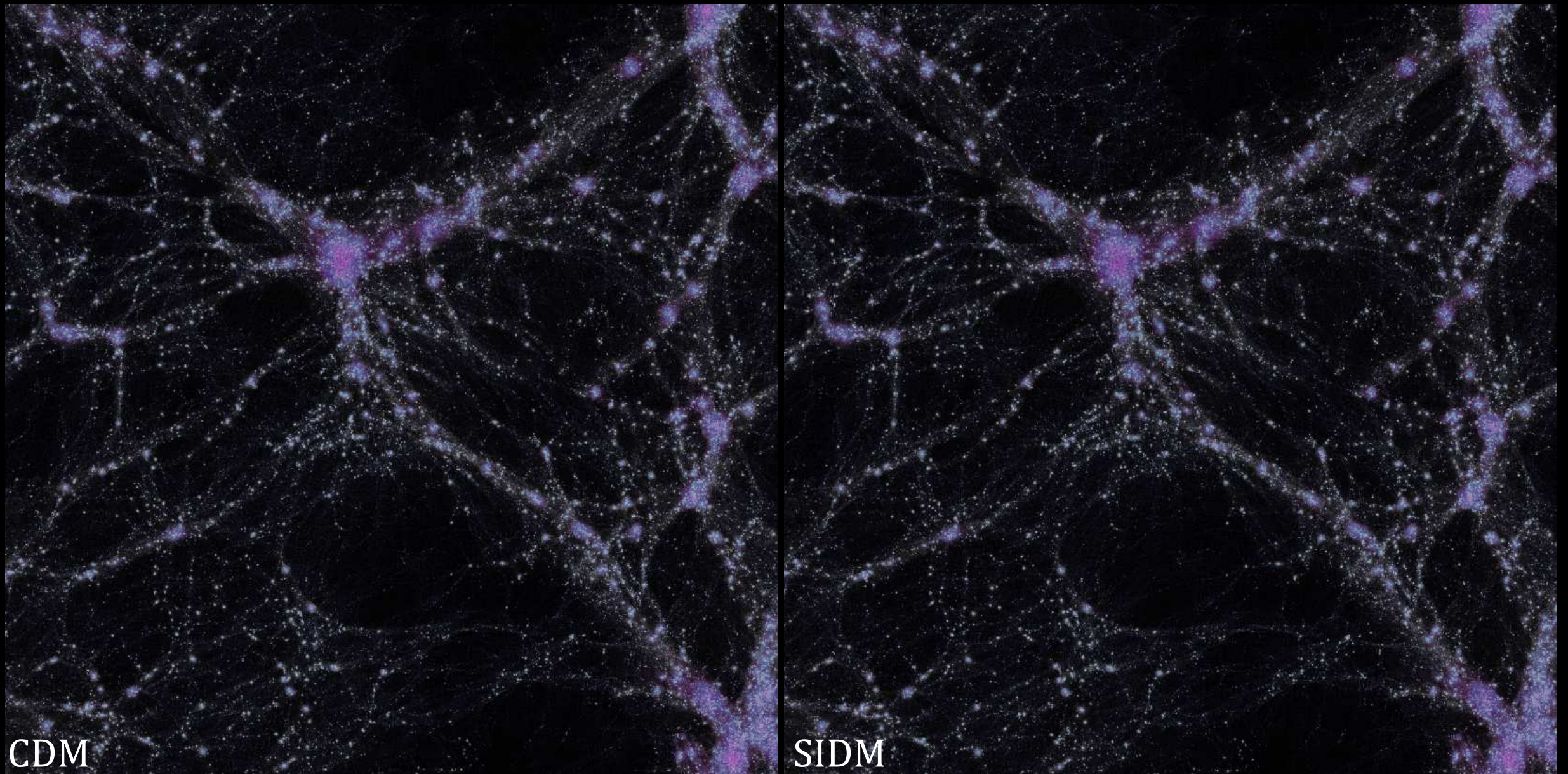


- ♦ Dispersion de vitesse des étoiles dans la Voie Lactée, épaisseur du disque, caractéristiques de la barre (Hallé et al. in prep.)

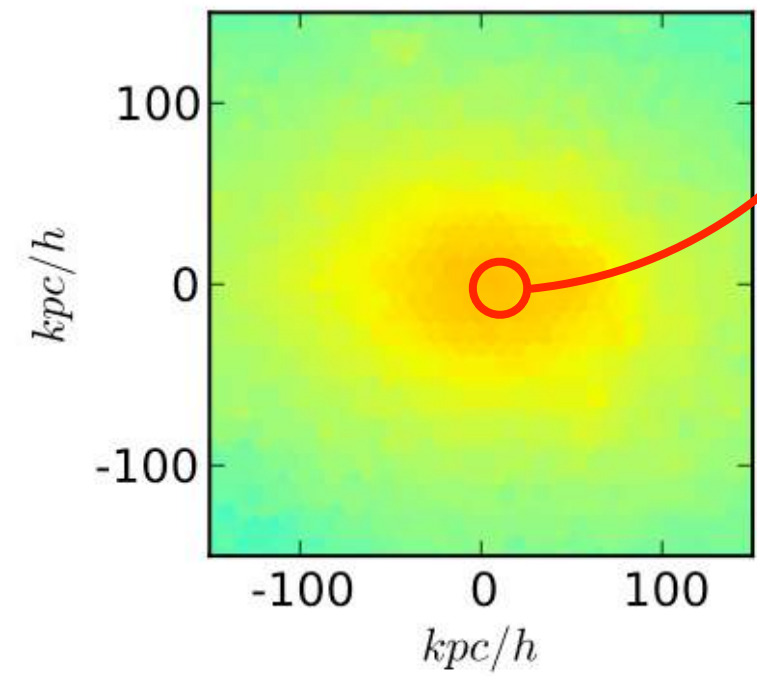
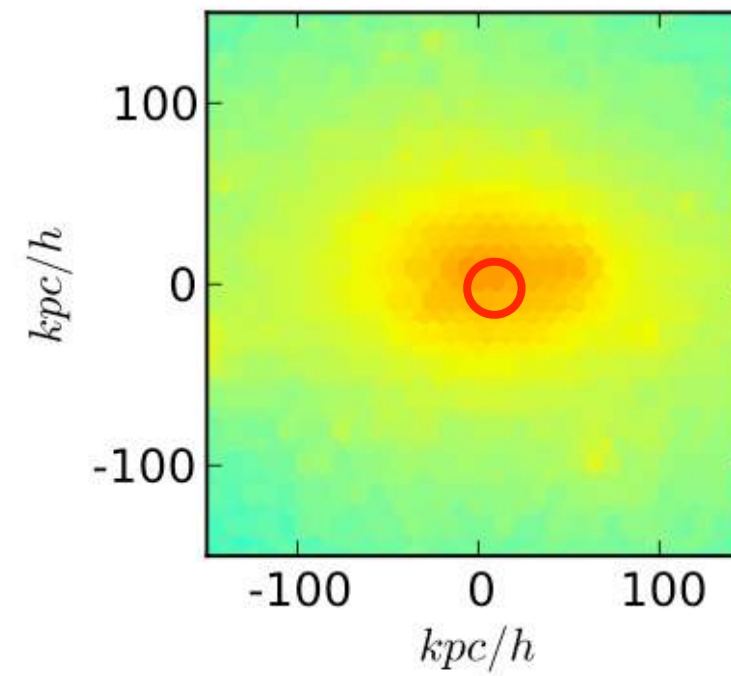
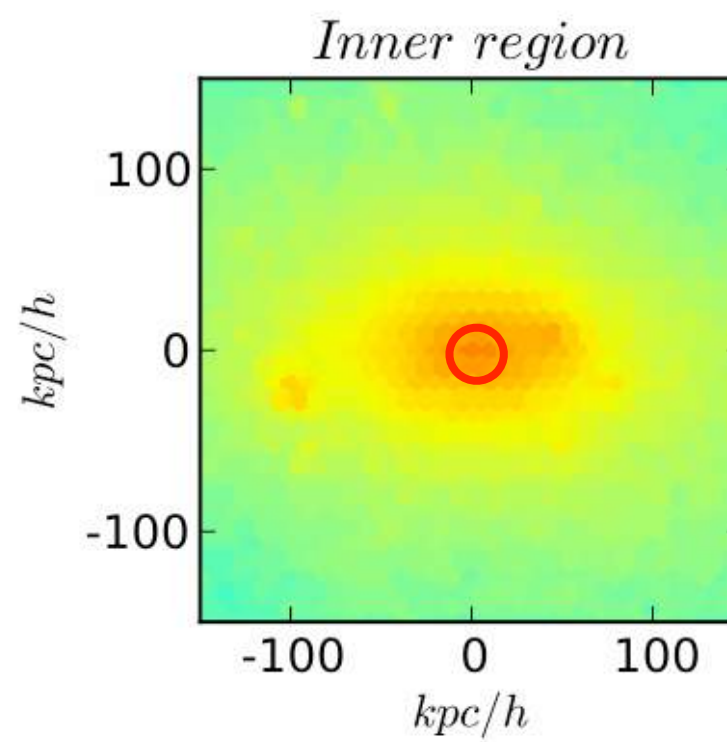
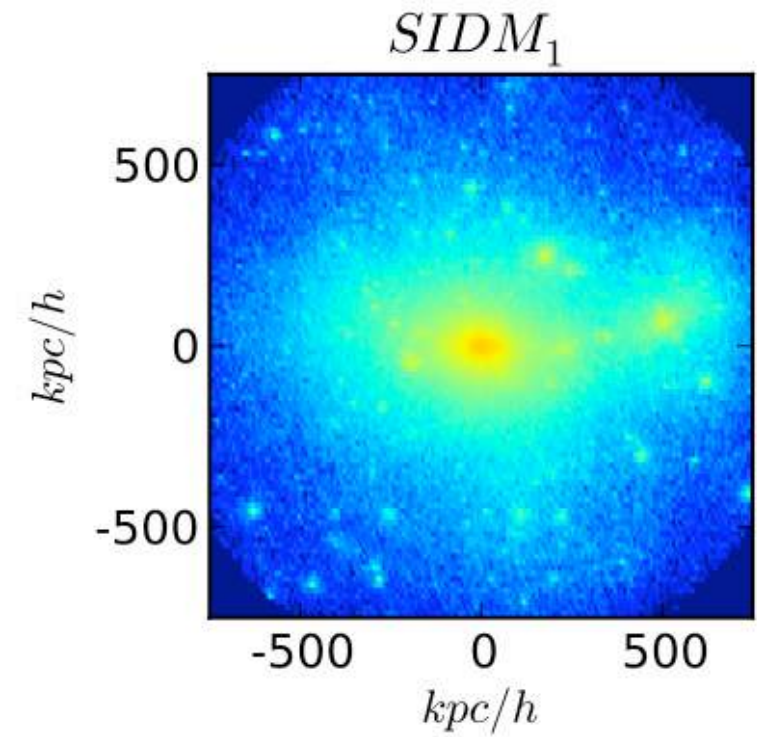
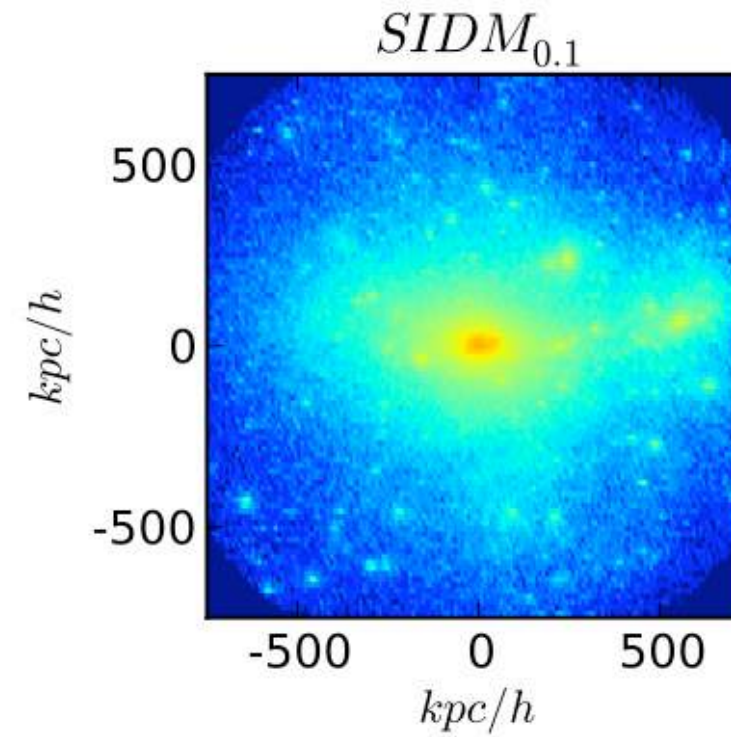
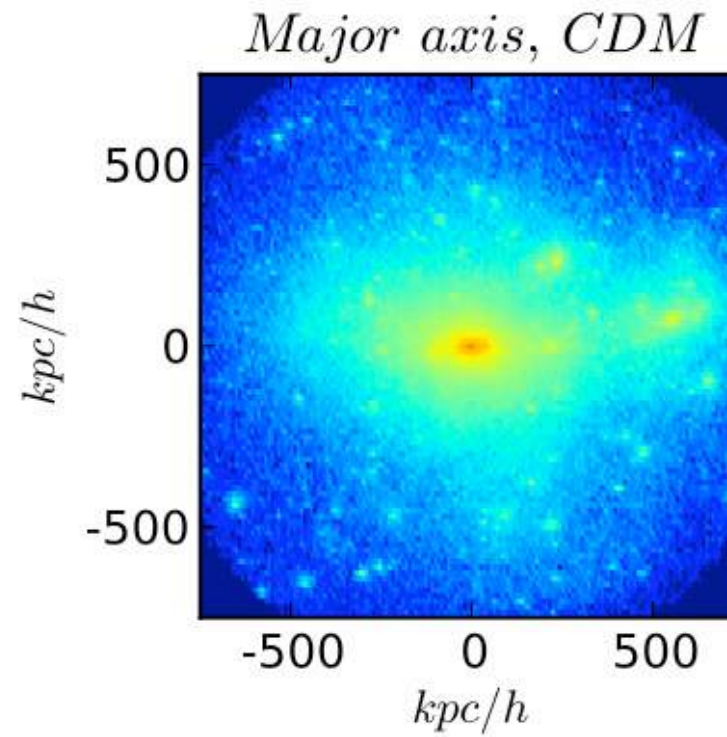


# La matière noire auto-interagissante (SIDM)

La même structure à grande échelle que la matière noire froide

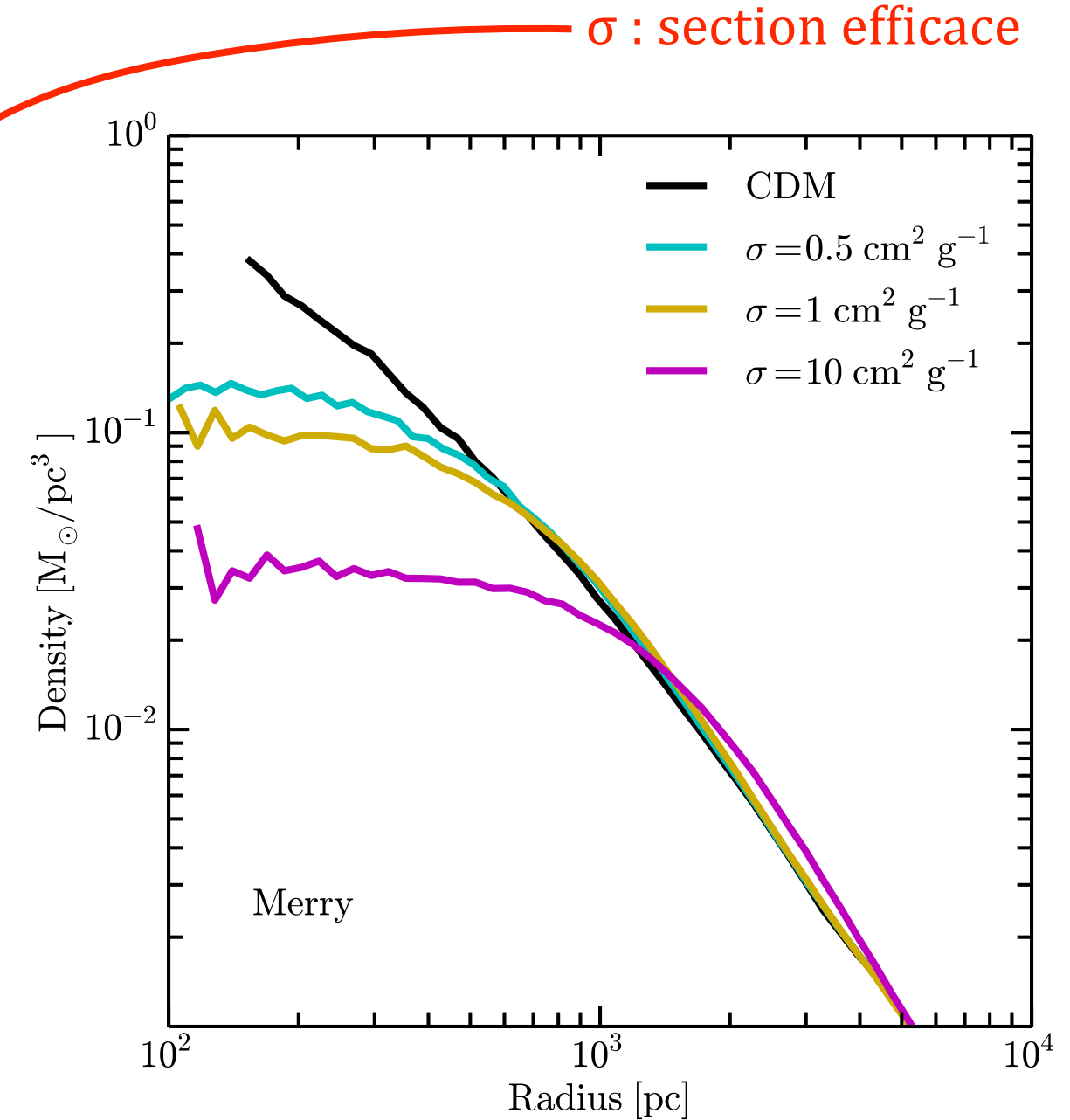
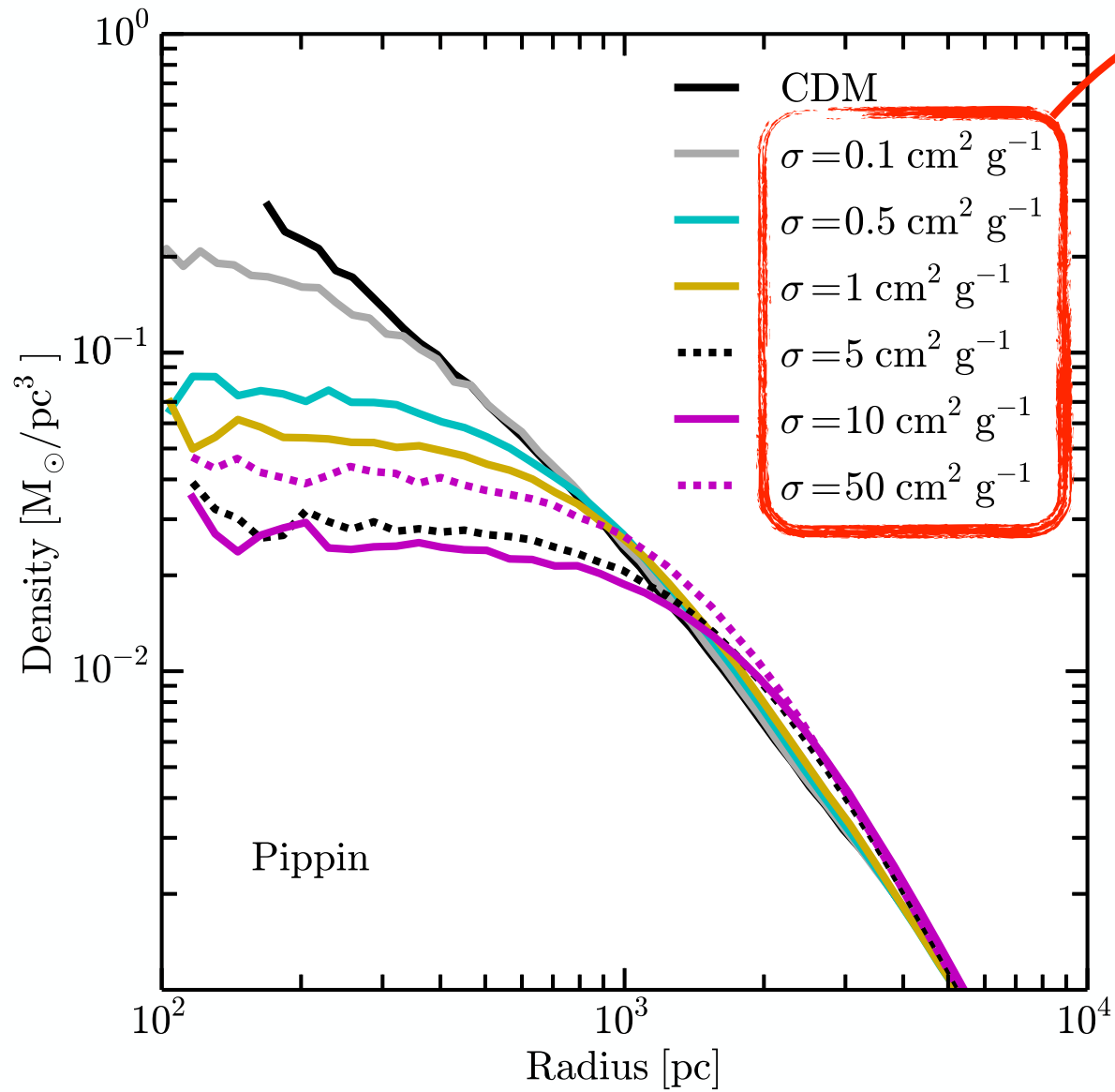


# La matière noire auto-interagissante (SIDM)



# La matière noire auto-interagissante (SIDM)

Des coeurs de matière noire

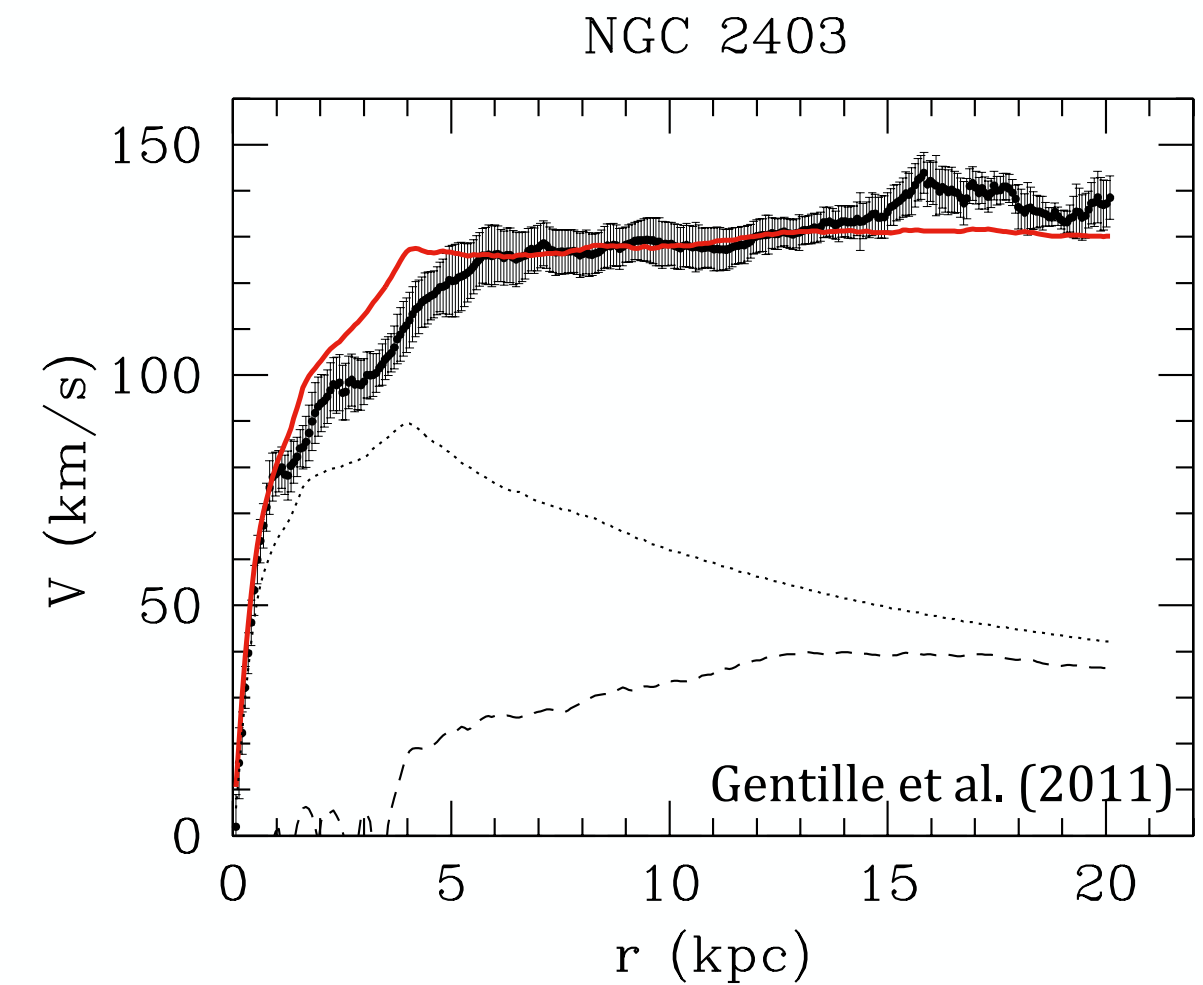
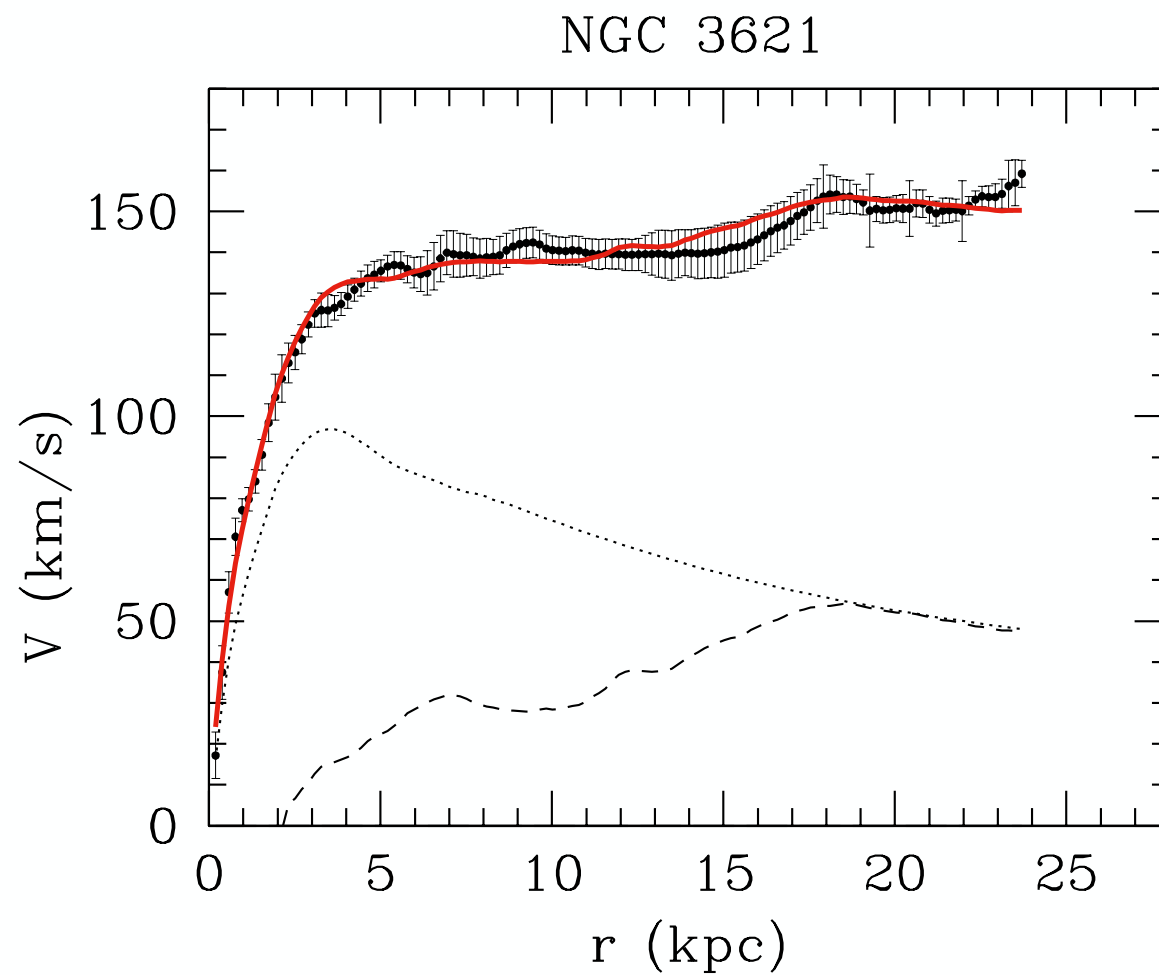


# Modified Newtonian Dynamics (MOND) : Modifier la loi de la gravitation

Milgrom (1983) :

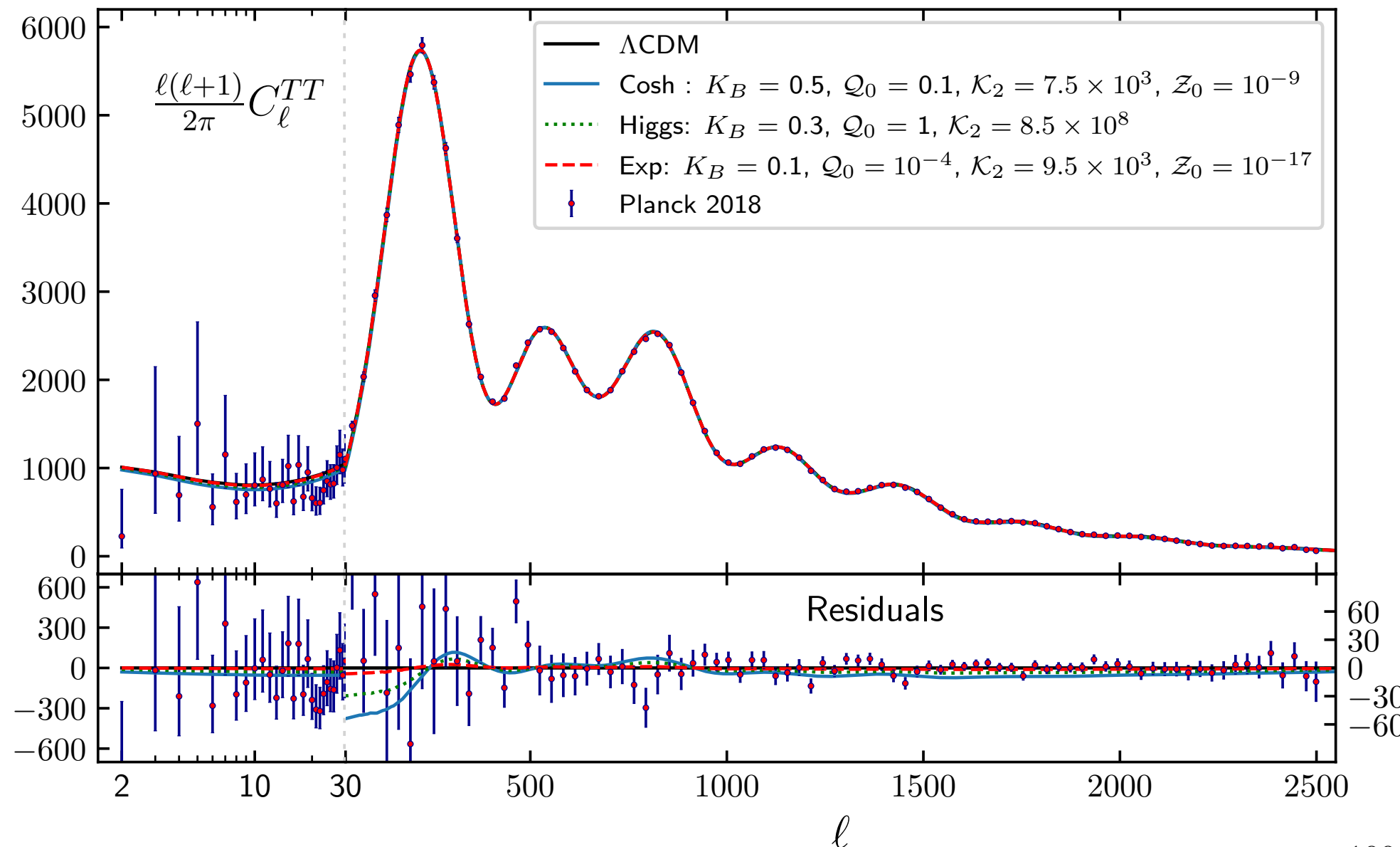
$$\begin{cases} g = g_N & \text{quand } g \gg a_0 \\ g = \sqrt{g_N a_0} & \text{quand } g \ll a_0 \end{cases} \quad \text{avec } a_0 \approx 10^{-10} \text{ m s}^{-2}$$

→ Permet de décrire les courbes de rotation d'une grande variété de galaxies

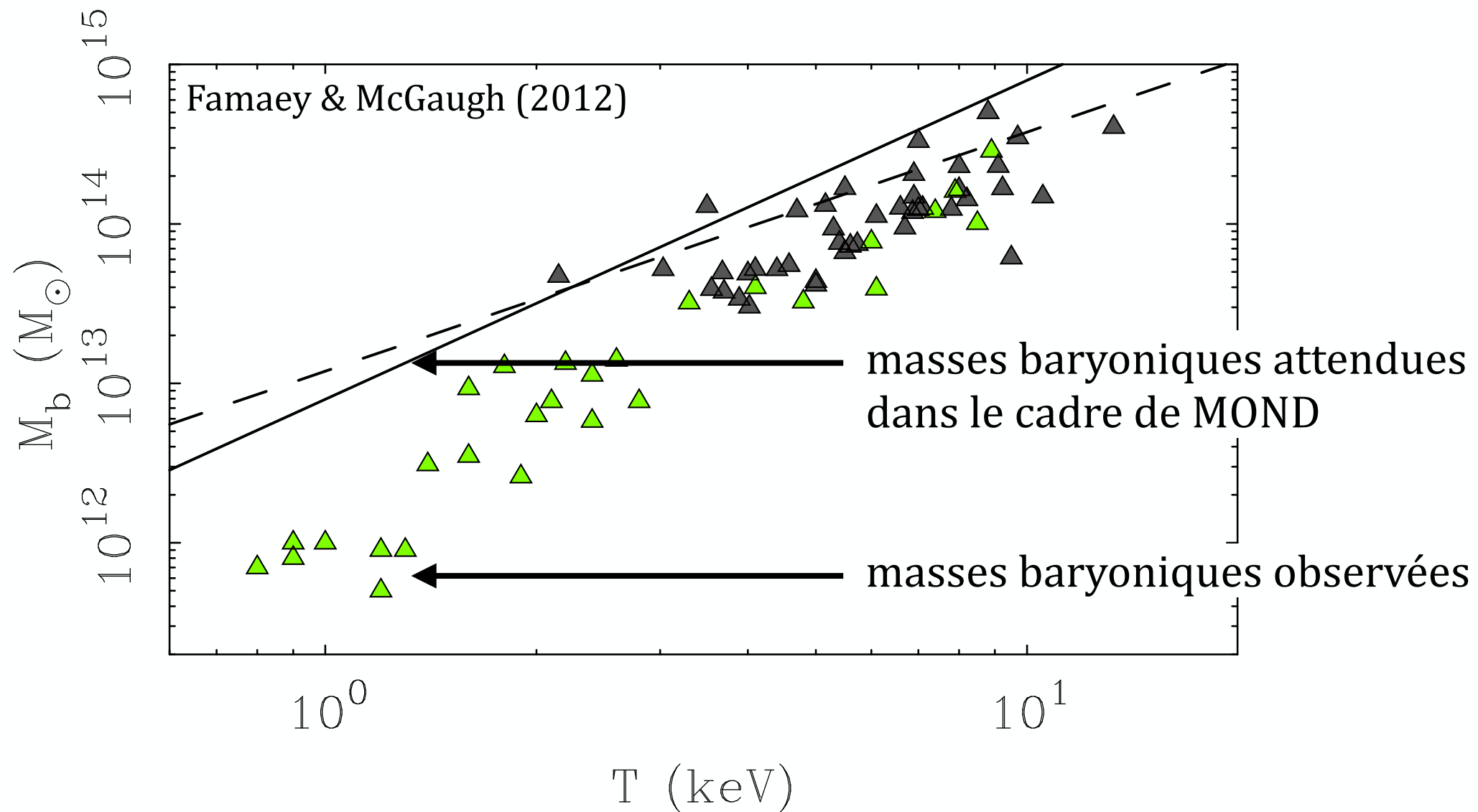


→ Prédit la relation de Tully-Fisher baryonique et la relation de l'accélération radiale  
→ Permet plus facilement la présence de plans de satellites

# Modified Newtonian Dynamics (MOND) : En quête d'une théorie relativiste

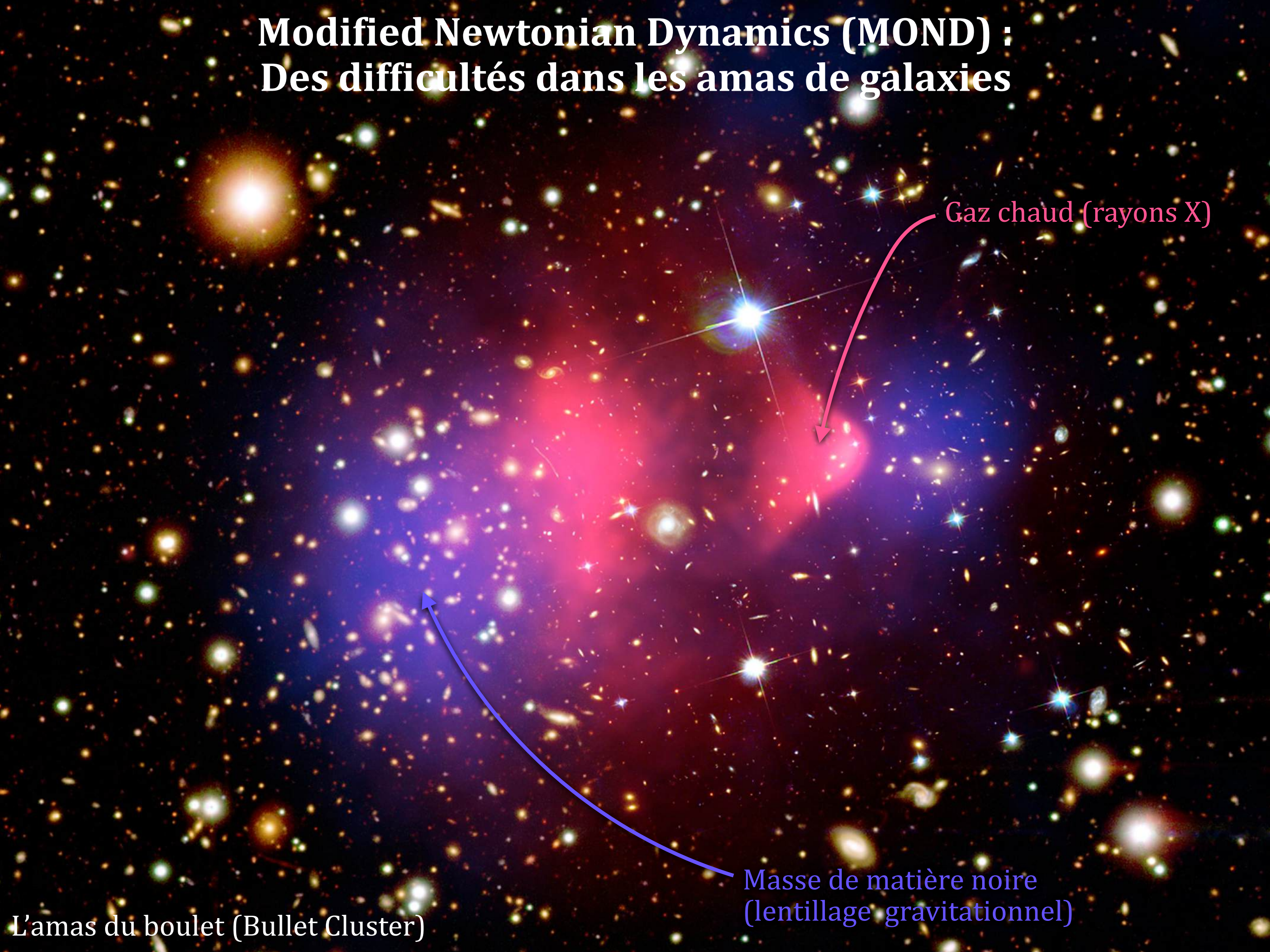


# Modified Newtonian Dynamics (MOND) : Des difficultés dans les amas de galaxies

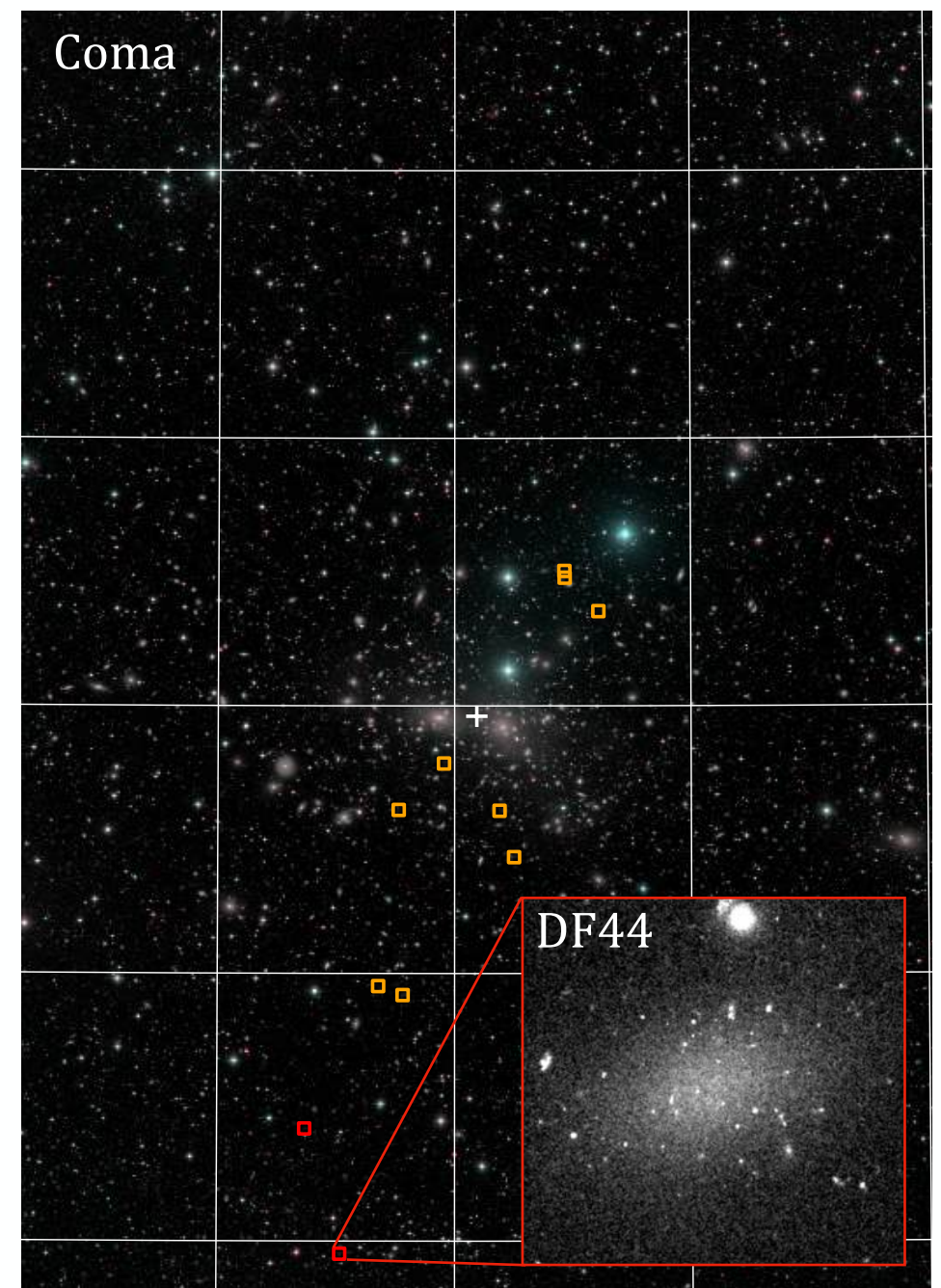
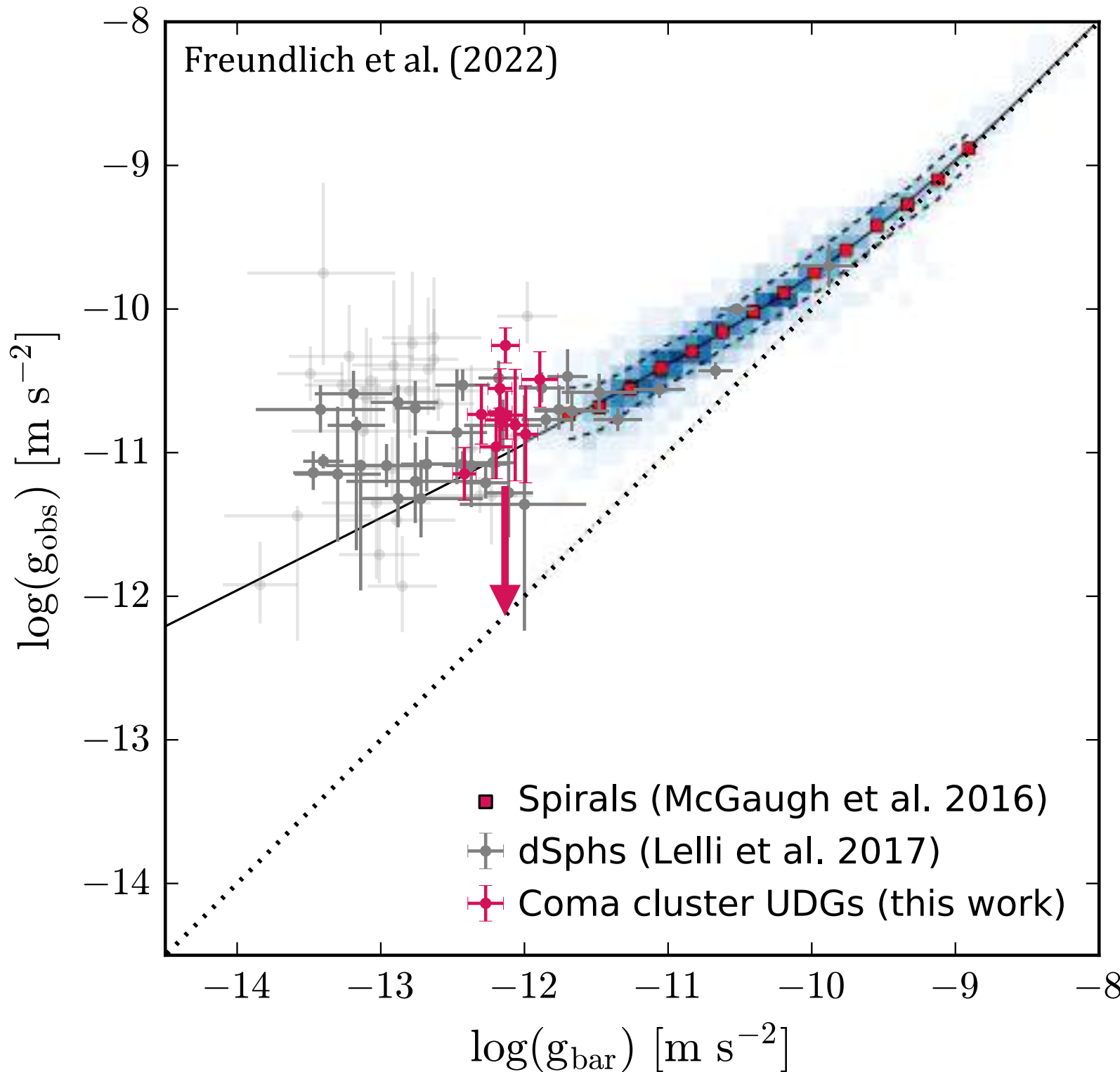


Il manque 2 à 10 fois la masse... et donc il faut quand même avoir recours à de la matière noire !

# Modified Newtonian Dynamics (MOND) : Des difficultés dans les amas de galaxies



# Modified Newtonian Dynamics (MOND) : Des difficultés dans les amas de galaxies



Les galaxies ultra-diffuses de l'amas de Coma se comportent comme si elles étaient isolées, ce qui n'est pas le cas... Elles devraient "tomber" vers la ligne pointillée dans le cadre de MOND.

# Modified Newtonian Dynamics (MOND) : Aucun effet détecté dans le Système Solaire



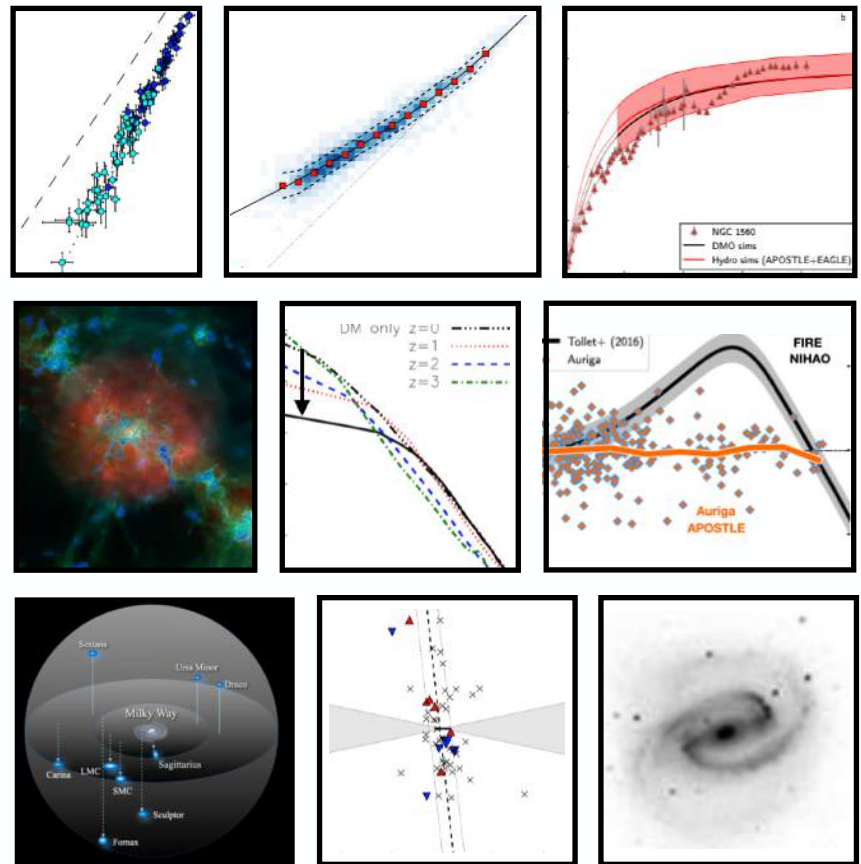
# Conclusion

♦ Le modèle  $\Lambda$ CDM permet de rendre compte du fond diffus cosmologique, de décrire l'Univers à grande échelle, et de le simuler.

---

♦ Mais il demeure des défis à l'échelle des galaxies qui devraient être mieux compris ou pourraient indiquer les limites du modèle :

- les fortes corrélations observées entre masse baryonique et champ gravitationnel, ainsi que la diversité des courbes de rotation ;
- les phénomènes de feedback, leur implémentation dans les simulations, et leur influence sur les halos de matière noire et les satellites ;
- l'évolution des galaxies naines et des satellites (formation d'étoiles, plans) ;
- la formation et l'évolution des barres.



---

♦ Des alternatives existent mais connaissent elles-mêmes leurs propres défis :

- matière noire tiède, floue, auto-interagissante
- gravité modifiée
- ...

